

## 192. Synthese von optisch aktiven, natürlichen Carotinoiden und strukturell verwandten Naturprodukten. X.

**Synthese von ( $3R,3'S,5'R$ )-Capsanthin, ( $3S,5R,3'S,5'R$ )-Capsorubin, ( $3'S,5'R$ )-Kryptocapsin und einigen verwandten Verbindungen. Ein neuer Zugang zu optisch aktiven Fünfring-Carotinoidbausteinen durch Hydroborierung<sup>1)</sup>**

von August Rüttimann<sup>a)</sup>, Gerhard Engler<sup>b)</sup> und Hans Mayer<sup>a)</sup>

Abteilung für Vitamin- und Ernährungsforschung<sup>a)</sup> und Zentrale Forschungseinheiten<sup>b)</sup>,

F. Hoffmann-La Roche & Co. AG, CH-4002 Basel

und Gerard P. Moss und Basil C.L. Weedon<sup>2)</sup>

Department of Chemistry, Queen Mary College, Mile End Road, London E1 4NS, U.K.

(12.VII.83)

**Synthesis of Optically Active Natural Carotenoids and Structurally Related Compounds. X. Synthesis of ( $3R,3'S,5'R$ )-Capsanthin, ( $3S,5R,3'S,5'R$ )-Capsorubin, ( $3'S,5'R$ )-Cryptocapsin, and Some Related Compounds. A New Approach to Optically Active, Five-Membered-Ring Carotenoid Building Units by Hydroboration**

### Summary

The synthesis of ( $3R,3'S,5'R$ )-capsanthin (1), ( $3S,5R,3'S,5'R$ )-capsorubin (2), and ( $3'S,5'R$ )-cryptocapsin (3), found in the red paprika *Capsicum annuum*, is described using (+)-camphor (7) as a readily available starting material. As the key reaction, the unsaturated acetal 16 is hydroborated with (+)-diisopinocampheylborane to give the hydroxy ketone 12a in very high chemical and optical yield. A subsequent aldol condensation with 13 in THF/toluene gives 2 in high yield. The C<sub>40</sub>-compounds 1 and 3 are synthesized using the same type of condensation. The pigments 1–3 are transformed by an Oppenauer oxidation to ( $3R,5'R$ )-capsanthone (5), ( $5R,5'R$ )-capsorubone (4) and ( $5'R$ )-cryptocapsone (6), respectively.

**1. Einführung.** – Capsanthin (1; 3,3'-Dihydroxy- $\beta,\kappa$ -carotin-6'-on [2]) ist das Hauptpigment der roten Paprika *Capsicum annuum* (Abb.). Dieses Pigment, das eine charakteristische Cyclopentanol-Endgruppe besitzt, wurde erstmals 1927 von Zechmeister & Cholnoky [3] aus dieser Quelle kristallin isoliert. Im Zuge dieser Untersuchungen [4–12] wurden später zwei weitere Farbstoffe mit dieser Endgruppe gefunden: Capsorubin (2; 3,3'-Dihydroxy- $\kappa,\kappa$ -carotin-6,6'-dion [2]) [4] und in kleineren Mengen Kryptocapsin (3; 3'-Hydroxy- $\beta,\kappa$ -carotin-6'-on [2]) [5] [6]. Diese drei Paprika-Carotinoide

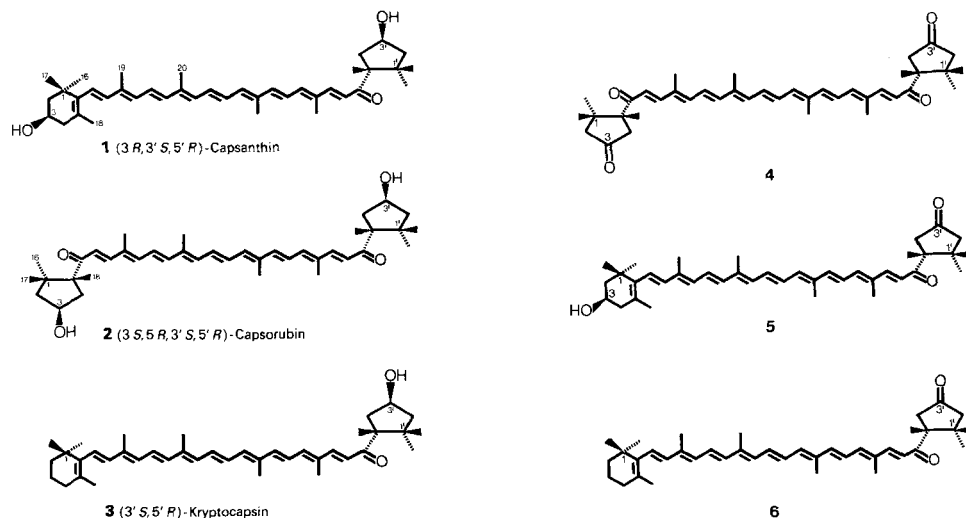
<sup>1)</sup> Vorgetragen von A. Rüttimann am ‘6th International Symposium on Carotenoids’, Liverpool, U.K., 26.–31. Juli 1981 [1].

<sup>2)</sup> Neue Adresse: University of Nottingham, University Park, Nottingham, NG7 2 RD, U.K.

wurden nur selten in anderen Quellen gefunden. So z.B. in den Staubbeuteln und Blättern von Lilienblüten [13] [14], in den Früchten der *Berberis*-Pflanze [15], in den Fruchtschalen von *Encephalartos villosus* LEHM [16] und in den Staubbeuteln von verschiedenen *Aesculus*-Arten [17–20], wo auch die entsprechenden oxydierten Pigmente Capsorubon (**4**;  $\kappa, \kappa$ -Carotin-3, 6, 3', 6'-teton), Capsanthon (**5**; 3-Hydroxy- $\beta, \kappa$ -carotin-3', 6'-dion) und Kryptocapsin (**6**;  $\beta, \kappa$ -Carotin-3', 6'-dion) festgestellt wurden.

Die Strukturaufklärung von Capsanthin (**1**) und Capsorubin (**2**) war Gegenstand einer langjährigen Kontroverse [21–33]. Erst anfangs der sechziger Jahre konnte etwas Licht hinter die Struktur ihrer Endgruppe gebracht werden: Eine Oxydation der OH-Gruppe an der Fünfring-Endgruppe von Capsanthin (**1**) und Capsorubin (**2**) nach Oppenauer ergab Cyclopentanon-Ringe, die sich mittels IR- und  $^1\text{H-NMR}$ -Spektroskopie leicht identifizieren ließen [31] [34–36]. Durch Korrelation mit (+)-Campher (**7**) konnte die ( $5' R$ )- bzw. ( $5 R, 5' R$ )-Konfiguration von **1** und **2** bewiesen werden [33] [37] [38]. Die relative Konfiguration der OH-Gruppe am Fünfring war Gegenstand eingehender Untersuchungen. So wurde die anfangs vorgeschlagene *cis*-Ständigkeit der OH-Gruppe und der Polyenkette [32] [33] später revidiert und die ( $3' S, 5' R$ )-Konfiguration (*trans*) eindeutig festgelegt [35] [36] [39]. Der endgültige Beweis für die Struktur dieser neuen Paprika-Carotinoide wurde durch die Totalsynthese von optisch inaktivem Capsorubin ( $(\pm)$ -**2**) [40–42], Kryptocapsin ( $(\pm)$ -**3**) [41] [43] und Capsanthin ( $(\pm)$ -**1**) [42] geliefert.

Im folgenden beschreiben wir die Synthese der optisch aktiven natürlichen Carotinoide **1–3** und von einigen verwandten Verbindungen.

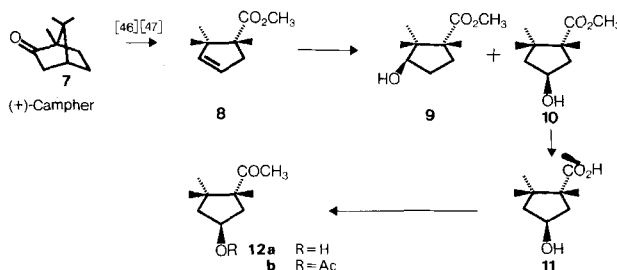


**2. Ergebnisse.** – 2.1. *Herstellung der C<sub>10</sub>-Bausteine **10** und **12a**.* Der für die Synthese der Carotinoide **1–3** benötigte Endgruppen-Baustein **12a** wurde erstmals von Weedon *et al.* [41] [44] im Jahre 1973 aus (+)-Campher (**7**) hergestellt. Ein verbesserter Weg zu den Schlüsselbausteinen **10** und **12a** wurde von der gleichen Arbeitsgruppe [45] in den folgenden Jahren erarbeitet: Eine Hydroborierung des ungesättigten Esters **8** [46] [47],

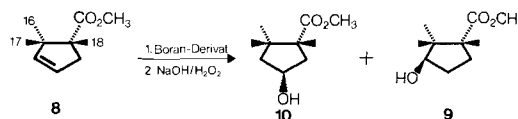


Abb. Rote Paprika *Capsicum annuum*

der sehr einfach aus (+)-Campher (7) zugänglich ist, mit Diboran [48] [49] ergab zwei isomere Hydroxyester **9** und **10** im Verhältnis von ca. 6:4 (*Schema 1*). Eine chromatographische Abtrennung von **10** und Verseifung mit Natronlauge ergab die *trans*-Hydroxsäure **11** (Smp. 216–217°), die mit der durch Abbau von natürlichem (3*R*,3'*S*,5'*R*)-Capsanthin (1) erhaltenen Säure [32] [33] identisch war. Mit einem grossen Überschuss an MeLi konnte **11** ins Methylketon **12a** überführt werden [50] [41].

*Schema 1*

Mit Hilfe von sterisch gehinderten Boran-Derivaten [49] versuchten wir, die OH-Gruppe regio- und diastereoselektiv am C(3)<sup>3</sup>) von **8** einzuführen (*Schema 2*). Dies gelang uns jedoch nur zum Teil. Zwar liess sich das Verhältnis **9/10** von ursprünglich 60:40 (mit Diboran; vgl. *Schema 2* und [45]) auf 45:55 (mit (+)-Diisopinocampheylboran) steigern; jedoch wurde bei keinem Boranderivat ausschliessliche Bildung von **10** beobachtet.

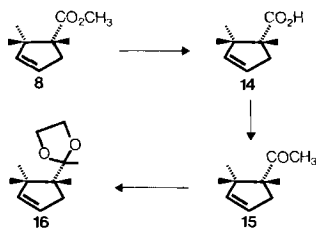
*Schema 2*

Boran-Derivat	GC-Ausbeute (9 + 10)	Verhältnis 9/10
Boran-Dimethylsulfidkomplex	83 %	63:37
Thexylboran	76 %	57:43
Disiamylboran	62 %	57:43
Dicyclohexylboran	17 %	56:44
(–)-Diisopinocampheylboran	87 %	75:25
(+)-Diisopinocampheylboran	90 %	45:55

Ein weiteres Substrat, an dem wir die Hydroborierung untersuchten, war das ungesättigte Acetal **16**, das sich leicht aus **8** über die Säure **14** und das daraus mit MeLi erhaltene Methylketon **15** in hoher Gesamtausbeute herstellen liess (*Schema 3*). Umsetzung von **16** mit den in *Schema 4* aufgeführten Boranen [49] ergab ein Gemisch der Hydroxyketone **12a**, **17a** und **18a**. Als weitaus selektivstes Reagens erwies sich wieder

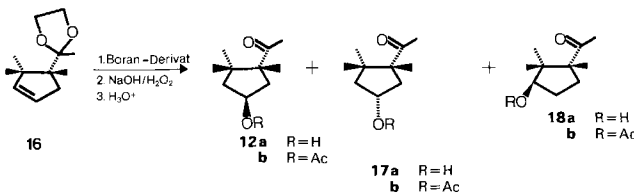
<sup>3)</sup> Die verwendete Gerüstnumerierung entspricht derjenigen der Carotinoid-Nomenklatur [2].

Schema 3



das aus  $(-)\alpha$ -Pinen gut zugängliche  $(+)$ -Diisopinocampheylboran. Dabei bildete sich in hoher Ausbeute (GC: 97%, isoliert: 88%) ein Gemisch der beiden Hydroxyketone **12a** und **18a** im Verhältnis 95:5. Mittels Chromatographie an Kieselgel konnte reines **12a** in einer Ausbeute von 84% erhalten werden.

Schema 4



Boran-Derivat	GC-Ausbeute ( <b>12a</b> + <b>17a</b> + <b>18a</b> )	Verhältnis <b>12a</b> / <b>17a</b> / <b>18a</b>
Diboran	59%	48:11:41
Thexylboran	66%	68: 5:27
Disiamylboran	84%	73: 5:22
9-BBN	17%	71:29: 0
$(-)$ -Diisopinocampheylboran	95%	50: 9:41
$(+)$ -Diisopinocampheylboran	97%	95: 0: 5

Eine andere Methode, mit der sich unter sehr milden Bedingungen Wasser an eine C,C-Doppelbindung anlagern lässt, ist die Oxomercurierung/Demercurierung [51]. Diese Hydratisierung verläuft im Gegensatz zur Hydroborierung nach der *Markownikoff*schen Regel. Eine Reaktion von Acetal **16** im heterogenen System THF/ $\text{H}_2\text{O}$  mit Quecksilber(II)acetat bei Raumtemperatur ergab nach Reduktion der intermediär auftretenden Organoquecksilerverbindung mit  $\text{NaBH}_4$  und saurer Abspaltung der Acetalgruppe ein Gemisch der beiden Hydroxyketone **12a** und **17a** im Verhältnis 87:13 (ca. 60proz. Ausbeute). Das metallische Quecksilber konnte praktisch quantitativ zurückgewonnen werden.

2.2. Konfiguration der Fünfring-Endgruppen. – 2.2.1. Spektraldaten<sup>3</sup>). Die unten angegebenen Signalzuordnungen sind im wesentlichen als gesichert anzusehen. Die Zuordnungen der  $^1\text{H-NMR}$ -Signale der Fünfring-Endgruppen [52] basieren auf folgenden Annahmen und experimentellen Beobachtungen: 1) Die *cis*-Kopplungskonstanten

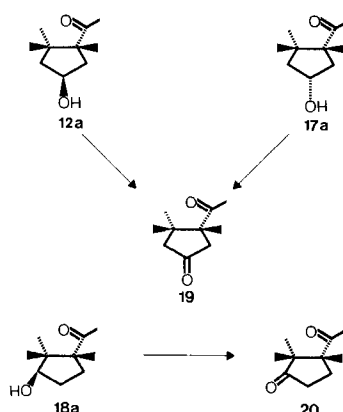
$^3J(H, H)$  am Fünfring mit 3-OR-Substitution sind grösser als die entsprechenden *trans*-Kopplungskonstanten; 2) das  $\alpha$ -ständige Proton an C(4), welches also *cis*-ständig zur COR-Gruppe an C(5) steht, erscheint bei tieferem Feld als die übrigen Protonen an C(2) und C(4); 3) die Zuordnungen der Signale der CH<sub>3</sub>-Gruppen an C(1) und C(5) bei den 2- und 3-substituierten Verbindungen konnten teilweise durch <sup>1</sup>H-nukleare Overhauser-Differenzmessungen (NOE) bewiesen werden.

NOE-Experimente wurden bei den Verbindungen **12a**, **12b**, **17a**, **17b**, **18a**, **18b**, **2**, **2a**, **21b** und **4** durchgeführt. Dabei wurden u.a. Signale der 3 CH<sub>3</sub>-Gruppen an C(1) und C(5) gesättigt und die NOE bei den  $\alpha$ - und  $\beta$ -Protonen an C(2), C(3) und C(4) beobachtet, soweit deren Signale genügend weit von denjenigen der gesättigten CH<sub>3</sub>-Gruppen entfernt lagen. In allen Fällen wurde dasjenige Signal dem  $\alpha$ - bzw.  $\beta$ -ständigen CH<sub>3</sub>-C(1) zugeordnet, das einen maximalen NOE bei H <sub>$\alpha$</sub> -C(2) bzw. H <sub>$\beta$</sub> -C(2) zeigte (ca. 5 bis 11% je nach verwendeter Leistung). Entsprechend ergab die Sättigung der 5 $\beta$ -CH<sub>3</sub>-Gruppe einen maximalen Effekt auf H <sub>$\beta$</sub> -C(4). Bei den Verbindungen **4–6** und **19** beruhen die Zuordnungen der Endgruppensignale auf den an **4** durchgeföhrten NOE-Messungen. Die bei tiefstem Feld (1,389 ppm) gelegene CH<sub>3</sub>-Gruppe ergibt erwartungsgemäss einen maximalen NOE von 4% bei H <sub>$\beta$</sub> -C(4) und wird daher dem  $\beta$ -ständigen CH<sub>3</sub>-C(5) zugeordnet. Bei Sättigung des Signals bei 1,013 ppm (1 $\alpha$ -CH<sub>3</sub>) wird ein schwächerer NOE von 2% bei H <sub>$\alpha$</sub> -C(4) sowie weitere Effekte bei 2,283 ppm (ca. 3%, H <sub>$\alpha$</sub> -C(2)) und 2,235 ppm (ca. 1,5%, H <sub>$\beta$</sub> -C(2)) beobachtet, wodurch die angegebenen Zuordnungen plausibel werden.

Die Zuordnungen der <sup>13</sup>C-NMR-Signale basieren auf Vergleichen mit den Spektren anderer Carotinoide [53], teilweise auf der Aufnahme <sup>1</sup>H-gekoppelter Spektren (Verbindungen **2a**, **21b** und **22b**) sowie in einigen Fällen (**2a**, **3**, **3a**, **21b** und **22b**) auf Messungen mit mehreren Konzentrationen des Verschiebungsreagens Yb(dpm), [53]. Bei den Verbindungen **1** und **2** konnte auf die Literatur zurückgegriffen werden [54] [55].

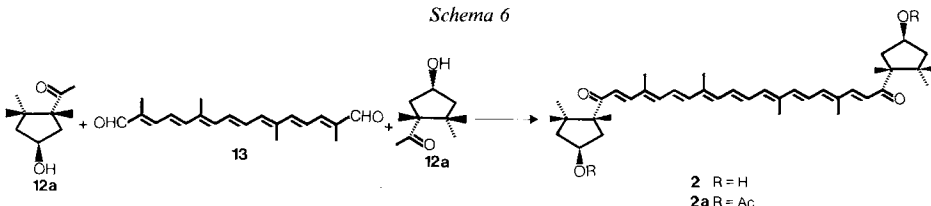
**2.2.2. Oxydation von **12a**, **17a** und **18a**.** Die Oxydation der isomeren Verbindungen **12a** und **17a** mit Pyridiniumchlorochromat ergab in beiden Fällen das gleiche kristalline Diketon **19** (Smp. 93,5–94,5° bzw. 95°; Misch-Smp. 94°). Dadurch konnte bewiesen werden, dass es sich bei **12a** und **17a** um *epimere* Verbindungen handelte. Die analoge Oxydation von **18a** lieferte hingegen ein isomeres Diketon **20** (Smp. 65–66,5°; Schema 5). Mittels <sup>1</sup>H-NMR liess sich zudem sehr eindeutig nochmals die Stellung der Oxogruppe im Fünfring von **19** und **20** überprüfen.

Schema 5



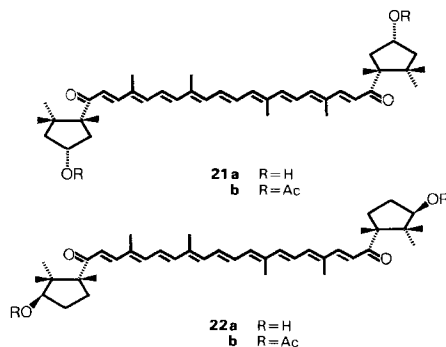
**2.3. Synthese der C<sub>40</sub>-Carotinoide.** (3S, 5R, 3'S, 5'R)-Capsorubin (**2**), mit der natürlichen Konfiguration an den 4 chiralen Zentren, wurde erstmals von *Weedon et al.* [41] [44] im Jahre 1973 ausgehend von (+)-Campher (**7**) synthetisiert. Nach dem Aufbau-Prinzip C<sub>10</sub> + C<sub>20</sub> + C<sub>10</sub> = C<sub>40</sub> wurde Crocetindialdehyd (**13**) [56] mit einem Überschuss von **12a** in einer Aldolkondensation mit 5proz. äthanolischer KOH-Lösung zu **2** kondensiert (*Schema 6*).

Schema 6



Eine weitere Bearbeitung dieser interessanten Kondensationsmethode zeigte, dass sich NaH als Base besonders gut eignete. In THF/Toluol 1:1 wurde **2** bei Raumtemperatur nach wenigen Std. in hoher Ausbeute gebildet (HPLC-Analyse nach Filterchromatographie: 63% **2** (all-trans)). Nach einer Kristallisation aus CHCl<sub>3</sub>/Benzol/Hexan konnte (3S, 5R, 3'S, 5'R)-Capsorubin (**2**) als dunkelrote, metallisch glänzende Kristalle mit Smp. 216° isoliert werden ((3S, 5R, 3'S, 5'R)-Capsorubin-diacetat (**2a**): Smp. 179–180°, vgl. [23]). Die spektroskopischen und chiroptischen Eigenschaften dieses kristallinen Produktes entsprachen jenen von (3S, 5R, 3'S, 5'R)-Capsorubin (**2**) *ex* roter Paprika *Capsicum annuum* (vgl. Kap. 28 im Exper. Teil und [41] [44]).

Die beiden isomeren Verbindungen (3R, 5R, 3'R, 5'R)-Epicapsorubin (**21a**; Smp. 211,5–212°) und (2R, 5R, 2'R, 5'R)-Isocapsorubin (**22a**; Smp. 204–206°) konnten analog der Synthese von **2** durch eine Kondensation von Crocetindialdehyd (**13**) mit den beiden Ketonen **17a** bzw. **18a** hergestellt werden. Durch Acetylierung mit Acetanhydrid in Pyridin wurden die entsprechenden kristallinen Diacetate **21b** und **22b** erhalten.

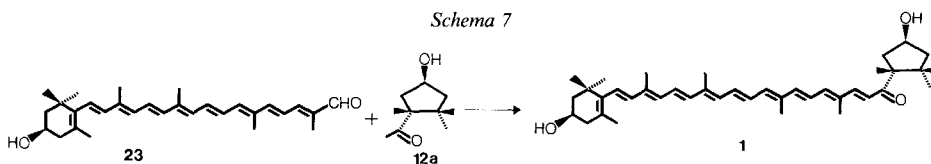


Die CD-Spektren der drei Isomeren **2**, **21a** und **22a** sind sehr ähnlich. Die Kurven besitzen jeweils drei Hauptmaxima bei ca. 375 nm ( $\Delta\epsilon \approx -3$ ), bei ca. 300 nm ( $\Delta\epsilon \approx +7$  bis +8) und bei ca. 250 nm ( $\Delta\epsilon \approx -2$ ). Die Position und Konfiguration der OH-

Gruppe am Fünfring hat offenbar nur wenig Einfluss auf die CD-Kurve, deren Verlauf vor allem durch das C(5<sup>3</sup>)-Asymmetriezentrum bestimmt wird. Interessant ist auch ein Vergleich der UV/VIS-Spektren dieser Verbindungen. (3S,5R,3'S,5'R)-Capsorubin (**2**) und (2R,5R,2'R,5'R)-Isocapsorubin (**22a**), deren OH-Gruppen zur Polyenkette *trans*-konfiguriert sind, besitzen die Hauptabsorptionsbande bei 470 bzw. 469 nm (in Hexan). (3R,5R,3'R,5'R)-Epicapsorubin (**21a**) mit zwei *cis*-konfigurierten OH-Gruppen weist hingegen das UV/VIS-Maximum bei 478 nm (in Hexan) auf. Diese bathochrome Verschiebung von 8–9 nm bewirkt eine Farbänderung, die mit bloßem Auge mühelos festgestellt werden kann.

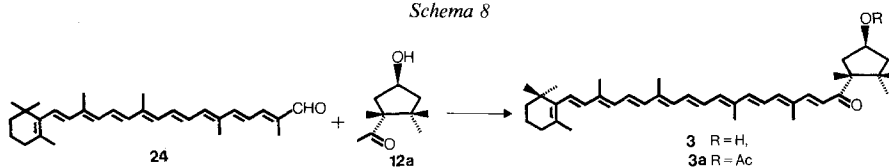
(3R,3'S,5'R)-Capsanthin (**1**), ein unsymmetrisches Carotinoid, wurde ausgehend von  $\beta$ -Citraurin (**23**; (3R)-3-Hydroxy-8'-apo- $\beta$ -carotin-8'-al [57]) und **12a** hergestellt (Schema 7). Kondensation von **23** mit 1,3 Äquiv. **12a** mit NaH in THF/Toluol bei Raumtemperatur ergab reines, kristallines **1** vom Smp. 177,5°, das in allen Eigenschaften mit dem aus der roten Paprika stammenden Pigment identisch war (vgl. Kap. 28 im Exper. Teil).

Schema 7



(3'S,5'R)-Kryptocapsin (**3**) wurde auf analoge Weise aus 8'-Apo- $\beta$ -carotin-8'-al (**24**) [58] und 1,1 Äquiv. **12a** mit Natriumamid als Base in Toluol bei 0° synthetisiert (Schema 8). Nach Filterchromatographie und Kristallisation aus Essigester wurde reines **3** mit Smp. 172–174° erhalten.

Schema 8



Capsorubon (**4**), Capsanthon (**5**) und Kryptocapson (**6**) wurden erstmals von *Bodea et al.* [17–20] in der Natur gefunden. Ausser den UV/VIS-Spektren wurden jedoch keine weiteren Daten angegeben. Die absolute Konfiguration dieser Naturprodukte ist unbekannt. Diese oxydierten Pigmente **4–6** wurden vor einiger Zeit im Zusammenhang mit der Strukturaufklärung von *Weedon* [34] [35] [43] und *Karrer* [31] aus natürlichem **2**, **1** bzw. **3** synthetisiert. Mit der schon damals verwendeten *Oppenauer*-Oxydation stellten wir aus **1**, **2** und **3** mit Aluminium-*tert*-butylat in Toluol/Aceton kristallines (3R,5'R)-Capsanthon (**5**; Smp. 165–170°), (5R,5'R)-Capsorubon (**4**; Smp. 217°) bzw. (5'R)-Kryptocapson (**6**; Smp. 182°) her und untersuchten deren spektroskopische und chiroptische Eigenschaften.

Schmelzpunkte, UV/VIS- und IR-Daten der Verbindungen **1–6**, **21a** und **22a** sind mit Vergleichswerten aus der Literatur in der Tabelle zusammengestellt.

Tabelle. Schmelzpunkte, UV/VIS- und IR-Daten der Carotinoide **1–6**, **21a** und **22a**

Verbin- dung	Smp.	UV/VIS-Daten <sup>a)</sup>		IR-Daten <sup>d)</sup>
		Hexan <sup>b)c)</sup>	Benzol	
<b>1</b>	177,5 <sup>e)</sup> ; 178 <sup>f)</sup> ([3]: 172°; [4]: 175–176°; [13]: 176°; [27]: 176°)	470 (2050) <sup>e)</sup> ; 470 (1965) <sup>f)</sup> ([8]: 475 (PÄ); [9]: 464; [13]: 474 (PÄ))	[7]: 483; [8]: 483; [9]: 478; [29]: 486 (1937); [34]: 483	3446, 1666, 967 <sup>e)</sup> ; 3500, 1666, 965 <sup>f)</sup> ([9]: 1660, 960)
<b>2</b>	216 <sup>e)</sup> ; 214–216 <sup>f)</sup> ([16]: 200°; [23]: 201°; [27]: 218°; [40]: 217°)	470 (2197) <sup>e)</sup> ; 471 (2218) <sup>f)</sup> ([8]: 479 (PÄ); [9]: 465)	487 (1990) <sup>e)</sup> ; 487 (1838) <sup>f)</sup> ([7]: 487; [8]: 488; [9]: 476; [29]: 487 (2160); [40]: 486; [41]: 486 (2065))	3464, 1669, 983 <sup>e)</sup> ; 3472, 1669, 985 <sup>f)</sup>
<b>3</b>	172–174 <sup>e)</sup> ([43]: 160–161°)	472 (2110) <sup>e)</sup> ([7]: 470; [8]: 475 (PÄ))	485 (1810) <sup>e)</sup> ([8]: 483; [29]: 486 (1966); [43]: 486 (1968))	3440, 1668, 968 <sup>e)</sup> ([43]: 1664, 1582, 971)
<b>4</b>	217 <sup>e)</sup> ([29]: 206°; [31]: 209°)	476 (2083) <sup>e)</sup> ([18]: 481 (PÄ))	491 (1730) <sup>e)</sup> ([29]: 494 (1983); [35]: 491)	1746, 1665 <sup>e)</sup> ([31]: 1739; [35]: 1735, 1661)
<b>5</b>	165–170 <sup>e)</sup> ([29]: 158°; [31]: 166°; [35]: 167°)	477 (2015) <sup>e)</sup> ([9]: 472; [18]: 472 (PÄ))	[9]: 483; [29]: 491 (1849); [34]: 489; [35]: 489 (1801))	1747, 1666 <sup>e)</sup> ([9]: 1740, 1660; [31]: 1739, 1664; [35]: 1739, 1664)
<b>6</b>	182 <sup>e)</sup> ([29]: 171°; [43]: 171–172°)	480 (1990) <sup>e)</sup> ([18]: 477 (PÄ))	491 (1735) <sup>e)</sup> ([29]: 491 (1898); [43]: 491 (1904))	1746, 1672 <sup>e)</sup> ([43]: 1739, 1661)
<b>21a</b>	211,5–212 <sup>e)</sup>	478 (2255) <sup>e)</sup>	[40]: 488 <sup>g)</sup> )	3500, 1655 <sup>e)</sup> ([40]: 1650 <sup>e)</sup>
<b>22a</b>	204–206 <sup>e)</sup>	469 (!) (2200) <sup>e)</sup>		3500, 1675 <sup>e)</sup>

<sup>a)</sup> Angabe von  $\lambda_{\max}$  [nm],  $E_{1\text{cm}}^{1\%}$  in Klammern. <sup>b)</sup> Vgl. Fussnote 10. <sup>c)</sup> PÄ = Petroläther. <sup>d)</sup> Angabe in  $\text{cm}^{-1}$ .

<sup>e)</sup> Synthetisches Material; vgl. Exper. Teil. <sup>f)</sup> Material, das aus Paprika-Oleoresin isoliert wurde (vgl. Kap. 28 im Exper. Teil). <sup>g)</sup> Gemessen an der optisch inaktiven Form von **21a**.

Für die Aufnahme und Interpretation der Spektren danken wir Frau Dr. M. Grosjean und Frau J. Kohler (UV/VIS, optische Drehungen), den Herren Dr. W. Arnold und W. Grunauer (NMR), Dr. W. Vetter und W. Meister (MS), Dr. L. Chopard (IR), Dr. K. Noack und F. Kachler (CD), Dr. M. Vecchi und E. Glinz (GC, HPLC) sowie Dr. A. Dirscherl (Mikroanalysen).

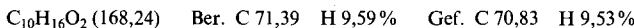
### Experimenteller Teil

Mitbearbeitet von den Herren Leo Binggeli, Markus Jäggi und Jean-Marie Zielinski

Allgemeines. Alle Reaktionen wurden unter Ar ausgeführt. Org. Extrakte wurden über wasserfreiem  $\text{Na}_2\text{SO}_4$  getrocknet und nach Filtration im Rotationsverdampfer (i. RV.) bei 30–40°/15–20 Torr eingedampft. Die Schmelzpunkte (Smp.) sind unkorrigiert (evakuiertes Kapillarröhrchen). Chromatographie: Dünnenschichtchromatographie (DC) mit DC-Fertigplatten Kieselgel F<sub>254</sub> (Merck); Säulenchromatographie mit Kieselgel 60 (0,063–0,200 mm und 0,040–0,063 mm Teilchengröße; Merck); HPLC: stationäre Phase Spherisorb S5-CN, Detektion mit *Uvikom LCD 725*. Analytische Gas-Chromatogramme (GC) wurden am Gerät *Varian 3700* (FID) aufgenommen, Trägergas  $\text{N}_2$ , elektronische Integration, Angaben in Flächenprozenten, Injektortemp. 250°, Säulentemp. programmiert von 100 bis 220°, Temperaturanstieg/Min. = 4°;  $t_R$  = Retentionszeit in Min. UV/VIS: *Beckman DK-2A*; Angabe von  $\lambda_{\max}$  ( $E_{1\text{cm}}^{1\%}$ ) in nm. CD: *Jouan-185-Dichrograph*; Angabe von  $\lambda_{\max}$  ( $E_{1\text{cm}}^{1\%}$ ) in nm, Lösungsmittel Dioxan bei 20°. Spezifische Drehungen [ $\alpha$ ] wurden bei RT. mit einem Polarimeter Modell *Perkin Elmer 241* gemessen. IR: *Beckman IR-9*; Angaben in  $\text{cm}^{-1}$ , w = schwache, m = mittlere, s = starke Absorption.

**MS:** *MS9 (AEI, Manchester, GB)*; Ionenquellentemp. bei Carotinoiden 200° (direkte Probeneinführung), bei den übrigen Verbindungen 250°, Ionisierungsenergie 70 eV; Angabe der Messzahlen *m/z*, in Klammern die relativen Intensitäten in % bzgl. höchstem Pik (= 100%). Spektren mit chemischer Ionisation (CI) wurden mit einem *MM-7070-F/DS-2050*-Gerät der Firma *Vacuum Generators*, Altrincham, England, aufgenommen. Reaktionsgasdruck: 1 Torr ( $\text{NH}_3$ ). Die  $^1\text{H-NMR}$ -Spektren wurden bei 60 MHz (*Varian A-60D* oder *EM-360*), 80 MHz (*WP-80 CW*), 90 MHz (*HX-90/15 FT*), 270 MHz (*HX-270*) oder 400 MHz (*WM-400*, letztere 4 Geräte *Bruker-Spectrospin*) gemessen. Die drei *Fourier*-Spektrometer waren mit *ASPECT-2000*-Computer (16 K, 32 K bzw. 32 K Daten) und Disk-Einheit ausgerüstet. Die  $^{13}\text{C-NMR}$ -Spektren wurden bei 100,6 MHz auf dem *WM-400*-Gerät aufgenommen. Als Lösungsmittel wurde durchgehend  $\text{CDCl}_3$  mit TMS als internem Standard verwendet. Kopplungskonstanten *J* in Hz; *s* = Singulett, *d* = Dublett, *t* = Triplet, *q* = Quadruplett, *m* = Multiplett, br. = breit, *AB* = *AB*-Spektrum. Zur Beschreibung der NMR-Daten wurden alle Verbindungen nach der Carotinoid-Nomenklatur nummeriert [2].

1. (*R*)-*1,2,2-Trimethyl-3-cyclopenten-1-carbonsäure-methylester* (**8**). Aus der käuflichen (+)-Camphersäure (*Fluka*) nach [47]. **8:** Sdp. 93–94°/20 Torr; GC (*Superox 0,6*): 96proz.;  $[\alpha]_{\text{D}}^{20} = +111^\circ$  (*c* = 1, EtOH); [47]:  $[\alpha]_{\text{D}}^{25} = +113^\circ$  (*c* = 1, EtOH). IR (Film): 1738s ( $\text{C=O}$ , Ester), 1623w ( $\text{C=C}$ ).  $^1\text{H-NMR}$  (60 MHz): 0,90, 1,13, 1,21 (3 *s*, je 3 H,  $\text{H}_3\text{C}(16)$ ,  $\text{H}_3\text{C}(17)$ ,  $\text{H}_3\text{C}(18)$ ); 2,03 (*dd*, *J* = 16, 3, 1 H,  $\text{H}-\text{C}(4)$ ); 3,20 (*dt*, *J* = 16, *ca.* 2, 1 H,  $\text{H}-\text{C}(4)$ ); 3,69 (*s*, 3 H,  $\text{CH}_3\text{O}$ ); 5,30 (*dd*, *J* = 6, 2, 1 H,  $\text{H}-\text{C}(2)$ ); 5,54 (*m*, 1 H,  $\text{H}-\text{C}(3)$ ). MS: 168 (12,  $M^+$ ), 153 (8), 125 (27), 109 (100), 93 (40), 67 (18).



2. (*1 R, 3 R*)-*3-Hydroxy-1,2,2-trimethylcyclopentancarbonsäure-methylester* (**9**) und (*1 R, 4 S*)-*4-Hydroxy-1,2,2,2-trimethylcyclopentancarbonsäure-methylester* (**10**) durch Hydroborierung von **8** mit (+)-*Diiisopinocampheylboran*. Zu einer Lösung von 18,5 ml (0,185 mol) Boran-Dimethylsulfidkomplex (*Aldrich*) in 100 ml abs. THF wurden bei 0° unter sorgfältigem Ausschluss von  $\text{O}_2$  innert 20 Min. 55,0 g (0,40 mol) (–)- $\alpha$ -Pinen (*Baerle*, Münchenstein;  $[\alpha]_{\text{D}}^{20} = -42,6^\circ$  (unverdünnt)) getropft. Der nach *ca.* 1 Std. auftretende weisse Niederschlag wurde über Nacht bei RT. gerührt. Hierauf kühlte man auf 0° ab und tropfte innert 10 Min. eine Lösung von 27,9 g (0,16 mol) **8** in 10 ml abs. THF zu und liess über Nacht (20 Std.) bei RT. röhren. Zur Aufarbeitung wurde erneut auf 0° gekühlt, langsam mit 55 ml 3 N NaOH und 55 ml 30proz.  $\text{H}_2\text{O}_2$  versetzt und noch 1 Std. bei 30–35° gerührt. Diese Lösung wurde nun auf  $\text{H}_2\text{O}$  geleert, mit  $\text{Et}_2\text{O}$  extrahiert und mit 5proz.  $\text{NaHSO}_3^-$ , ges.  $\text{NaHCO}_3^-$  und ges. NaCl-Lösung gewaschen. Nach Trocknen und Eindampfen i. RV. fiel ein farbloses Öl (83,9 g) an. GC (*Superox 0,6*):  $t_R$  20,8 (**9**, 14,5%),  $t_R$  21,1 (**10**, 17,4%); **9/10** = 45:55; GC-Ausbeute (**9 + 10**): 90% bzgl. **8**. Chromatographie an 1,2 kg Kieselgel mit AcOEt/Hexan 1:3 (langsam auf 1:1 steigend) ergab: 10,2 g (34%) reines **9** als Kristalle, 3,3 g (11%) **9/10** (GC: 28% **9** und 69,7% **10**) sowie 13,4 g (45%) reines **10** als farbloses Öl. **9:** Sdp. *ca.* 100°/0,1 Torr; DC (AcOEt/Hexan 1:2);  $R_f$  0,48; GC (*Superox 0,6*): 96proz.;  $[\alpha]_{\text{D}}^{20} = -29,5^\circ$  (*c* = 1, EtOH). IR (Film): 3506m ( $\text{OH}$ ), 1730s ( $\text{C=O}$ , Ester).  $^1\text{H-NMR}$  (270 MHz): 0,83, 0,98, 1,23 (3 *s*, je 3 H,  $\text{H}_3\text{C}(16)$ ,  $\text{H}_3\text{C}(17)$ ,  $\text{H}_3\text{C}(18)$ ); *ca.* 1,58, 2,25 (2 *m*, 4 H,  $\text{H}_2\text{C}(3)$ ,  $\text{H}_2\text{C}(4)$ ); 2,16 (br., 1 H,  $\text{HO}-\text{C}(2)$ ); 3,65 (*s*, 3 H,  $\text{CH}_3\text{O}$ ); 3,97 (*ca. t*, 1 H,  $\text{H}-\text{C}(2)$ ). MS: 186 (0,5,  $M^+$ ), 154 (65), 126 (100), 111 (71), 101 (60), 73 (67).



**10:** Sdp. *ca.* 100°/0,1 Torr; DC (AcOEt/Hexan 1:2);  $R_f$  0,6; GC (*Superox 0,6*): 98,5proz.;  $[\alpha]_{\text{D}}^{20} = +2,7^\circ$  (*c* = 1, EtOH). IR (Film): 3430m ( $\text{OH}$ ), 1730s ( $\text{C=O}$ , Ester).  $^1\text{H-NMR}$  (90 MHz): 0,76, 1,01, 1,16 (3 *s*, je 3 H,  $\text{H}_3\text{C}(16)$ ,  $\text{H}_3\text{C}(17)$ ,  $\text{H}_3\text{C}(18)$ ); 1,50 (*dd*, *J* = 14,5, 3,5, *ca.* 1 H,  $\text{H}_\beta-\text{C}(4)$ ); 1,59 (*dd*, *J* = 13,5, 3,5, *ca.* 1 H,  $\text{H}_\beta-\text{C}(2)$ ); 1,67 (*s*, 1 H,  $\text{HO}-\text{C}(3)$ ); 2,08 (*dd*, *J* = 13,5, 8, 1 H,  $\text{H}_\alpha-\text{C}(2)$ ); 2,77 (*dd*, *J* = 14,5, 8, 5, 1 H,  $\text{H}_\alpha-\text{C}(4)$ ); 3,59 (*s*, 3 H,  $\text{CH}_3\text{O}$ ); 4,46 (*m*, 1 H,  $\text{H}_\alpha-\text{C}(3)$ ). MS: 168 (10,  $M^+ - \text{H}_2\text{O}$ ), 130 (36), 129 (55), 109 (96), 101 (100), 98 (40).



3. Hydroborierung von **8** mit verschiedenen Boran-Derivaten. 3.1. Mit Boran-Dimethylsulfidkomplex. Zu 0,8 ml (8 mmol) Boran-Dimethylsulfidkomplex (*Fluka*) in 4 ml abs. THF wurde bei 0° eine Lösung von 1,0 g (5,8 mmol) **8** in 1 ml abs. THF getropft und 20 Std. bei RT. gerührt. Nun wurde wieder auf 0° gekühlt, langsam mit 2 ml 3 N NaOH und 2 ml 30proz.  $\text{H}_2\text{O}_2$  versetzt und noch 1 Std. bei 30° gerührt. Aufarbeitung wie in Kap. 2 ergab 1,04 g farbloses Öl. GC (*Superox 0,6*):  $t_R$  20,9 (**9**, 53,3%),  $t_R$  21,2 (**10**, 31,8%), **9/10** = 63:37; GC-Ausbeute (**10 + 9**): 83%.

3.2. Mit Thexylboran. Zu 3,5 ml 2 M Boranlösung (7 mmol) in THF [49] gab man bei 0° 630 mg (7,5 mmol), 2,3-Dimethyl-2-but-en (*Fluka*) und rührte 5 Std. bei 0°. Dazu tropfte man nun eine Lösung von 1,0 g (5,8 mmol)

8 in 1 ml abs. THF und liess über Nacht bei RT. röhren. Aufarbeitung wie in Kap. 2 ergab 1,36 g farbloses Öl. GC (Superox 0,6):  $t_R$  20,9 (9, 33,8%),  $t_R$  21,3 (10, 25,7%), 9/10 = 57:43; GC-Ausbeute (9 + 10): 76%.

3.3. Mit Disiamylboran. Zu 3,5 ml 2M Boranlösung (7 mmol) in THF [49] gab man bei 0° 985 mg (14 mmol) 2-Methyl-2-but-en (Fluka) und rührte 5 Std. bei 0°. Zum entstandenen weissen Niederschlag tropfte man nun eine Lösung von 1,0 g (5,8 mmol) 8 in 1 ml abs. THF und liess über Nacht bei RT. röhren. Aufarbeitung wie in Kap. 2 ergab 1,25 g farbloses Öl. GC (Superox 0,6):  $t_R$  20,8 (9, 30,6%),  $t_R$  21,2 (10, 22,8%), 9/10 = 57:43; GC-Ausbeute (9 + 10): 62%.

3.4. Mit Dicyclohexylboran. Analog Kap. 3.3 mit 1,15 g (14 mmol) Cyclohexen statt 2-Methyl-2-but-en: 1,17 g farbloses Öl. GC (Superox 0,6):  $t_R$  20,9 (9, 8,6%),  $t_R$  21,2 (10, 6,8%), 9/10 = 56:44; GC-Ausbeute (9 + 10): 17%.

3.5. Mit (-)-Diisopinocampheylboran. Zu 3,5 ml 2M Boranlösung (7 mmol) in THF [49] gab man bei 0° 2,2 g (16,2 mmol) (+)- $\alpha$ -Pinen (Aldrich,  $[\alpha]_D^{20} = +47^\circ$  (unverdünnt)), rührte 1 Std. bei 0° und stellte die Lösung 3 Tage in den Kühlschrank (+3°). Zum entstandenen weissen Niederschlag tropfte man nun eine Lösung von 1,0 g (5,8 mmol) 8 in 1 ml abs. THF und liess über Nacht bei RT. röhren. Aufarbeitung wie in Kap. 2 ergab 2,60 g farbloses Öl. GC (Superox 0,6):  $t_R$  20,9 (9, 26,7%),  $t_R$  21,2 (10, 9,1%), 9/10 = 75:25; GC-Ausbeute (9 + 10): 87%.

4. (R, 4S)-4-Hydroxy-1,2,2-trimethylcyclopentancarbonsäure (11). Eine Lösung von 13,4 g (72 mmol) 10 in 160 ml MeOH und 15 ml H<sub>2</sub>O wurde mit 55 g (0,83 mol) 85proz. KOH-Plätzchen (Merck) versetzt und 30 Std. unter Rückfluss erhitzt. Nach Abkühlen auf RT. wurde das MeOH i. RV. abgedampft. Der Rückstand wurde 2mal mit 500 ml Et<sub>2</sub>O extrahiert und nachher mit 37proz. HCl angesäuert (pH 1–2). Die saure wässr. Lösung wurde nach Sättigung mit MgSO<sub>4</sub> 3mal mit 300 ml CHCl<sub>3</sub> extrahiert. Dies ergab rohes 11 (9,8 g) als beige Kristalle. Umkristallisation aus AcOEt/Hexan ergab 8,7 g (70%) reines 11, Smp. 215–216° ([36] [41]: 217°),  $[\alpha]_D^{20} = +12,8^\circ$  ( $c = 1$ , EtOH). IR (KBr): 3352m (OH), 1703s (C=O, Säure). <sup>1</sup>H-NMR (80 MHz): 0,94 (s, 3 H, H<sub>3</sub>C(16)); 1,15 (s, 3 H, H<sub>3</sub>C(17)); 1,31 (s, 3 H, H<sub>3</sub>C(18)); 1,58 (dd,  $J = 14,5, 3,5$ , ca. 1 H, H<sub>β</sub>–C(4)); 1,69 (dd,  $J = 13,5, 5$ , ca. 1 H, H<sub>β</sub>–C(2)); 2,11 (dd,  $J = 13,5, 7,5$ , 1 H, H<sub>α</sub>–C(2)); 2,84 (dd,  $J = 14,5, 8,5$ , 1 H, H<sub>α</sub>–C(4)); 4,49 (m, 1 H, H<sub>β</sub>–C(3)); 6,99 (br. s, 2 H, HOOC–C(5), HO–C(3)). MS: 154 (8, M<sup>+</sup> – H<sub>2</sub>O), 139 (8), 115 (54), 109 (77), 98 (100), 87 (97), 68 (66). MS (CI): 190 (50, (M + NH<sub>4</sub>)<sup>+</sup>), 172 (78), 155 (35, (M + H)<sup>+</sup> – H<sub>2</sub>O), 109 (100), 97 (32).



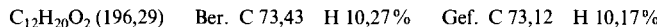
5. (R)-1,2,2-Trimethyl-3-cyclopenten-1-carbonsäure (14). Eine Lösung von 104,8 g (0,6 mol) 8 in 1,4 l MeOH und 110 ml H<sub>2</sub>O wurde mit 477 g (7,2 mol) 85proz. KOH-Plätzchen (Merck) versetzt und 16 Std. unter Rückfluss erhitzt. Nach Abkühlen auf RT. wurde das MeOH i. RV. abgedampft. Den Rückstand extrahierte man mit 500 ml Et<sub>2</sub>O. Die H<sub>2</sub>O-Phase wurde nach Ansäuerung mit ca. 0,7 l 37proz. HCl 2mal mit 1 l Et<sub>2</sub>O extrahiert. Die Et<sub>2</sub>O-Lösung wurde mit ges. NaCl-Lösung neutral gewaschen und nach Trocknung bis zur Gewichtskonstanz eingedampft. Das als weisser Schaum anfallende 14 (94,1 g, 100%) wurde ohne Reinigung in die nächste Stufe (Kap. 6) eingesetzt. Für die anal. Daten wurde eine Probe aus Hexan umkristallisiert, Smp. 153–154° ([47]: Smp. 157–159,5°);  $[\alpha]_D^{20} = +137,1^\circ$  ( $c = 1$ , EtOH) ([47]:  $[\alpha]_D^{25} = +122^\circ$  ( $c = 1$ , EtOH)). IR (KBr): 3650–2400s (COOH), 1706s (C=O, Säure), 1622w (C=C). <sup>1</sup>H-NMR (60 MHz): 1,02, 1,16, 1,27 (3 s, 9 H, H<sub>3</sub>C(16), H<sub>3</sub>C(17), H<sub>3</sub>C(18)); 2,05 (ddd,  $J = 16,5, 2,7$ , ca. 1, 1 H, H–C(4)); 3,17 (dt,  $J = 16,5, 2, 1$  H, H–C(4)); 5,32, 5,54 (2 m,  $J_{2,3} = 6, 2$  H, H–C(2), H–C(3)); 7,23 (br. s, 1 H, HOOC–C(5)). MS: 154 (23, M<sup>+</sup>), 139 (18), 125 (16), 111 (72), 109 (100), 93 (34), 67 (33).



6. Methyl/(R)-1,2,2-trimethyl-3-cyclopenten-1-yl/keton (15). Zu einer auf 0° gekühlten Lösung von 109,2 g (ca. 0,7 mol) 14 (s. Kap. 5) in 500 ml Et<sub>2</sub>O wurden langsam 875 ml (1,58 mol) 1,8M Lösung von CH<sub>3</sub>Li in Et<sub>2</sub>O getropft. Dann wurde 3 Std. unter Rückfluss gekocht, auf 0° gekühlt und langsam mit 300 ml H<sub>2</sub>O versetzt. Die Et<sub>2</sub>O-Phase wurde abgetrennt und die H<sub>2</sub>O-Phase nochmals mit 1 l Et<sub>2</sub>O extrahiert. Die org. Phasen wurden mit H<sub>2</sub>O und ges. NaCl-Lösung gewaschen und nach Trocknung i. RV. eingedampft. Das als weisser Schaum anfallende 15 (91,4 g, gemäß GC (Superox 0,6) 94proz.) wurde ohne Reinigung in die nächste Stufe (Kap. 7) eingesetzt. Sdp. ca. 110°/15 Torr;  $[\alpha]_D^{20} = +149,8^\circ$  ( $c = 1$ , EtOH). IR (CHCl<sub>3</sub>): 1696s (C=O, Keton), 1624w (C=C). <sup>1</sup>H-NMR (80 MHz): 0,88, 1,18 (2 s, 3 H und 6 H, H<sub>3</sub>C(16), H<sub>3</sub>C(17), H<sub>3</sub>C(18); 1,95 (ddd,  $J = 17, 3, 1$  H, H–C(4)); 2,16 (s, 3 H, CH<sub>3</sub>O–C(5)); 3,15 (dt,  $J = 16,7, 2, 1$  H, H–C(4)); 5,28, 5,55 (2 m, 2 H, H–C(2), H–C(3)). MS: 152 (27, M<sup>+</sup>), 137 (12), 109 (100), 95 (21), 67 (34), 43 (57).



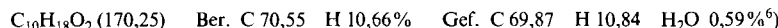
7. *2-Methyl-2-[*(R*)-1,2,2-trimethyl-3-cyclopenten-1-yl]-1,3-dioxolan* (**16**). Eine Lösung von 91,4 g (0,57 mol) **15** (s. Kap. 6) in 130 ml Orthoameisensäure-methylester wurde mit 50 ml Äthylenglycol und 2 g *p*-TsOH versetzt und bei RT. gerührt. Nach 5 Std. wurde die dunkle Lösung mit 3 ml Et<sub>3</sub>N versetzt, auf 500 ml H<sub>2</sub>O geleert und 2mal mit 1 l Et<sub>2</sub>O extrahiert. Die Et<sub>2</sub>O-Phase wurde 1mal mit ges. NaHCO<sub>3</sub>- und 1mal mit ges. NaCl-Lösung gewaschen, getrocknet und i. RV. eingedampft. Das anfallende braune Öl (132 g) wurde an einer kurzen Vigreux kolonne fraktioniert. Dabei wurden bei 95–130°/15 Torr 108,7 g **16** (90% bzgl. **15**, gemäss GC (Superox 0,6) 93proz.) als farbloses Öl erhalten,  $[\alpha]_D^{20} = +61,4^\circ$  (*c* = 1, EtOH). IR (Film): 1625<sub>w</sub> (C=C), 1111<sub>s</sub>, 1075<sub>s</sub>, 1046<sub>s</sub> (C—O—C), 719<sub>s</sub> (CH=CH, *cis*). <sup>1</sup>H-NMR (60 MHz): 1,09, 1,12, 1,33 (3 s, 6 H, 3 H und 3 H, H<sub>3</sub>C(16), H<sub>3</sub>C(17), H<sub>3</sub>C(18), H<sub>3</sub>C(7)); 1,83 (ddd, *J* = 16, 4, 2, 1 H, H—C(4)); 2,78 (dt, *J* = 16, 2, 1 H, H—C(4)); ca. 3,92 (*m*, 4 H, OCH<sub>2</sub>CH<sub>2</sub>O); 5,28, 5,50 (2 *m*, 2 H, H—C(2), H—C(3)). MS 196 (5, *M*<sup>+</sup>), 181 (7), 87 (100), 43 (31).



8. *[*(1 R, 4 S)*-4-Hydroxy-1,2,2-trimethylcyclopentyl]methylketon* (**12a**) und *[*(1 R, 4 R)*-4-Hydroxy-1,2,2-trimethylcyclopentyl]methylketon* (**17a**) durch Oxomercurierung/Demercurierung von **16**. Zu 75,2 g (0,23 mol) Hg(OAc)<sub>2</sub> (98proz., Siegfried, Zofingen) in 500 ml H<sub>2</sub>O wurde eine Lösung von 41,9 g (0,2 mol) **16** (GC (Superox 0,6): 94proz.) in 200 ml THF getropft. Die entstandene gelbe Suspension wurde mit einem mechanischen Rührer 6 Std. bei RT. intensiv gerührt. Nachher tropfte man dieses entfärbte Reaktionsgut unter Eiskühlung zu einer Lösung von 3,9 g (0,103 mol) NaBH<sub>4</sub> in 200 ml 3 N NaOH, sättigte mit NaCl und extrahierte 2mal mit 1 l Et<sub>2</sub>O<sup>4</sup>). Die vereinigten Et<sub>2</sub>O-Phasen rührte man über Nacht mit 100 ml 10proz. H<sub>2</sub>SO<sub>4</sub>, trennte dann die wässr. Phase ab und extrahierte nochmals mit 500 ml Et<sub>2</sub>O. Die org. Phasen wurden mit ges. NaHCO<sub>3</sub>- und ges. NaCl-Lösung gewaschen und i. RV. eingedampft. Das anfallende gelbe Öl (38,2 g) wurde an 1,6 kg Kieselgel mit AcOEt/Hexan 1:1 chromatographiert. Dabei wurden 7,7 g **15/16** (19%) und 24,4 g **12a/17a** (60%; GC (Superox 0,6): *t*<sub>R</sub> 13,3 (**17a**, 12%), *t*<sub>R</sub> 14,6 (**12a**, 81%); **17a/12a** = 13:87 erhalten<sup>5</sup>). Chromatographie dieses Gemisches an 800 g Kieselgel mit CHCl<sub>3</sub>/Aceton 9:1<sup>5</sup>) ergab 2,5 g (7%) reines **17a** als farbloses Öl. 4,4 g (13%) **17a/12a** (GC: 15% **17a** und 85% **12a**) sowie 14,6 g (43%) reines **12a** als farbloses Öl. **17a**: Sdp. ca. 120°/0,1 Torr; GC (Superox 0,6): 96proz.;  $[\alpha]_D^{20} = +23,4^\circ$  (*c* = 1, EtOH). CD (Dioxan): 316 sh (−0,16), 306 sh (−0,36), 295 (−0,47), 290 sh (−0,46), 232 (0,00). IR (Film): 3450<sub>w</sub> (OH), 1702<sub>s</sub> (C=O, Keton), 1108<sub>m</sub>, 1037<sub>m</sub> (Alkohol-II-Banden). <sup>1</sup>H-NMR (400 MHz): 0,940 (*s*, 3 H, H<sub>3</sub>C(17)); 0,984 (*s*, 3 H, H<sub>3</sub>C(16)); 1,190 (*s*, 3 H, H<sub>3</sub>C(18)); 1,513 (*dd*, *J* = 14,2, 5,4, 1 H, H<sub>α</sub>—C(2)); 1,982 (*dd*, *J* = 14,5, 8,3, 1 H, H<sub>β</sub>—C(4)); 2,047 (*dd*, *J* = 14,5, 3,3, 1 H, H<sub>α</sub>—C(4)); 2,076 (*dd*, *J* = 14, 8, 1 H, H<sub>β</sub>—C(2)); 2,200 (*s*, 3 H, CH<sub>3</sub>CO—C(5)); 3,236 (*d*, *J* = 9, 1 H, HO—C(3)); 4,29 (*br. m*, 1 H, H—C(3)). MS: 152 (2, *M*<sup>+</sup> — H<sub>2</sub>O), 127 (6), 109 (75), 95 (47), 85 (86), 83 (79), 43 (100).



**12a**<sup>7</sup>): Sdp. ca. 140°/0,6 Torr; GC (Superox 0,6): 100proz.;  $[\alpha]_D^{20} = +8,4^\circ$  (*c* = 1, EtOH). CD (Dioxan): 301 sh (−0,55), 294 (−0,61). IR (Film): 3420<sub>s</sub> (OH), 1700<sub>s</sub> (C=O, Keton), 1130<sub>m</sub>, 1088<sub>m</sub>, 1028<sub>m</sub> (Alkohol-II-Banden). <sup>1</sup>H-NMR (400 MHz): 0,855 (*s*, 3 H, H<sub>3</sub>C(16)); 1,177 (*s*, 3 H, H<sub>3</sub>C(17)); 1,317 (*s*, 3 H, H<sub>3</sub>C(18)); 1,465 (*dd*, *J* = 14,5, 4, 1 H, H<sub>β</sub>—C(4)); ca. 1,60 (*br. m*, 1 H, HO—C(3)); 1,680 (*dd*, *J* = 14, 5, 1 H, H<sub>β</sub>—C(2)); 1,990 (*dd*, *J* = 14, 7,5, 1 H, H<sub>α</sub>—C(2)); 2,123 (*s*, 3 H, CH<sub>3</sub>CO—C(5)); 2,818 (*dd*, *J* = 14,5, 8,5, 1 H, H<sub>α</sub>—C(4)); 4,472 (*m*, 1 H, H<sub>α</sub>—C(3)). MS: 170 (1, *M*<sup>+</sup>), 152 (5), 127 (16), 113 (28), 109 (100), 85 (91), 83 (97), 43 (81).



9. *[*(1 R, 4 S)*-4-Acetoxy-1,2,2-trimethylcyclopentyl]methylketon* (= Essigsäure-*[*(1 S, 3 R)*-3-acetyl-3,4,4-trimethylcyclopentyl]ester*; **12b**). Eine Lösung von 500 mg (2,9 mmol) **12a** in 7 ml Pyridin Ac<sub>2</sub>O 5:2 wurde über Nacht bei RT. stehen gelassen, dann auf 100 ml 10proz. H<sub>2</sub>SO<sub>4</sub> geleert, mit Et<sub>2</sub>O extrahiert, mit ges. NaHCO<sub>3</sub>- und ges. NaCl-Lösung gewaschen, getrocknet, filtriert und i. RV. eingedampft. Kugelrohrdestillation bei ca.

- 
- <sup>4</sup>) Das als glänzende Kugel ausgefallene metallische Hg konnte quantitativ (46,3 g, 100%) zurückgewonnen werden.
  - <sup>5</sup>) Die Produkte **12a** und **17a** besitzen im DC auf Kieselgel im System AcOEt/Hexan 1:2 den gleichen *R*<sub>f</sub> Wert (ca. 0,4). Mit CHCl<sub>3</sub>/Aceton 9:1 können sie jedoch leicht getrennt werden (*R*<sub>f</sub> 0,43 (**12a**), *R*<sub>f</sub> 0,63 (**17a**)).
  - <sup>6</sup>) Die Verbindungen **12a** und **17a** sind hygrokopisch.
  - <sup>7</sup>) Diese Verbindung wurde erstmals von Weodon et al. [41] [44] [45] hergestellt. Unsere Daten stimmen mit den in [41] publizierten Daten überein.

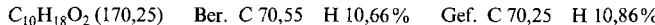
100°/0,07 Torr ergab 528 mg (85%) **12b** als farbloses Öl; GC (*CPTM-Wax*): 96proz.;  $[\alpha]_D^{20} = -0,6^\circ$  ( $c = 1$ , EtOH). IR (Film): 1736s (C=O, Acetat), 1697s (C=O, Keton), 1247s (Esterbande).  $^1\text{H-NMR}$  (400 MHz): 0,880 (s, 3 H,  $\text{H}_3\text{C}(16)$ ); 1,150 (s, 3 H,  $\text{H}_3\text{C}(17)$ ); 1,276 (s, 3 H,  $\text{H}_3\text{C}(18)$ ); 1,531 (*dd*,  $J = 14,5, 3,2$ , 1 H,  $\text{H}_\beta-\text{C}(4)$ ); 1,721 (*dd*,  $J = 14, 4,5$ , 1 H,  $\text{H}_\beta-\text{C}(2)$ ); 2,017 (s, 3 H,  $\text{CH}_3\text{COO}-\text{C}(3)$ ); 2,074 (*dd*,  $J = 14, 8$ , 1 H,  $\text{H}_\alpha-\text{C}(2)$ ); 2,131 (s, 3 H,  $\text{CH}_3\text{CO}-\text{C}(5)$ ); 2,855 (*dd*,  $J = 14,5, 8,5$ , 1 H,  $\text{H}_\alpha-\text{C}(4)$ ); 5,103 (*m*, 1 H,  $\text{H}_\alpha-\text{C}(3)$ ). MS: 212 (3,  $M^+$ ), 152 (13), 109 (100), 96 (41), 95 (24), 85 (14), 81 (19), 43 (42).



10. *f/(1 R, 4 R)-4-Acetoxy-1,2,2-trimethylcyclopentyl)methylketon* (= Essigsäure-*f/(1 R, 3 R)-3-acetyl-3,4,4-trimethylcyclopentyl*ester; **17b**). Aus **17a** wie in Kap. 9. Kugelrohrdestillation bei ca. 100°/0,07 Torr ergab 588 mg (94%) als farbloses Öl; GC (*CPTM-Wax*): 97proz.;  $[\alpha]_D^{20} = -22,0^\circ$  ( $c = 1$ , EtOH). IR (Film): 1735s (C=O, Acetat), 1698s (C=O, Keton), 1248s (Esterbande).  $^1\text{H-NMR}$  (400 MHz): 0,987 (s, 3 H,  $\text{H}_3\text{C}(16)$ ); 1,115 (s, 3 H,  $\text{H}_3\text{C}(17)$ ?); 1,151 (*d*,  $J = 0,8$ , 3 H,  $\text{H}_3\text{C}(18)$ ?); 1,646 (*dd*,  $J = 14,2, 3,2$ , 1 H,  $\text{H}_\alpha-\text{C}(2)$ ); 2,038 (*dd*,  $J = 14,5, 8,5$ , 1 H,  $\text{H}_\beta-\text{C}(4)$ ); 2,033 (s, 3 H,  $\text{CH}_3\text{COO}-\text{C}(3)$ ); 2,139 (*dd*,  $J = 14,5, 8,5$ , 1 H,  $\text{H}_\beta-\text{C}(2)$ ); 2,155 (s, 3 H,  $\text{CH}_3\text{CO}-\text{C}(5)$ ); 2,550 (br. *dd*,  $J = 14,2, 6$ , 1 H,  $\text{H}_\alpha-\text{C}(4)$ ); 5,139 (*m*, 1 H,  $\text{H}_\beta-\text{C}(3)$ ). MS: 212 (0,1,  $M^+$ ), 152 (12), 109 (100), 96 (12), 85 (15), 43 (44).



11. **12a** und *f/(1 R, 3 R)-3-Hydroxy-1,2,2-trimethylcyclopentyl)methylketon* (**18a**) durch Hydroborierung von **16** mit (+)-Diisopinocampheylboran. (+)-Diisopinocampheylboran wurde wie in Kap. 2 aus 6,9 ml (69 mmol) Boran-Dimethylsulfidkomplex (*Fluka*) und 18,8 g (0,14 mol) (-)- $\alpha$ -Pinen in 50 ml abs. THF hergestellt, und bei 0° mit 12,0 g (57 mmol) **16**<sup>8</sup> in 20 ml abs. THF versetzt. Diese Mischung wurde noch 7 Std. bei 0° und 18 Std. bei RT. gerührt, dann bei 0° mit 31 ml 2N NaOH und 21 ml 30proz.  $\text{H}_2\text{O}_2$  versetzt. Nach Aufarbeitung und Hydrolyse mit 50 ml 10proz.  $\text{H}_2\text{SO}_4$  wie in Kap. 8 wurden 29,1 g gelbliches Rohprodukt erhalten. GC (*CPTM-Wax*):  $t_R$  13,0 (**18a**, 1,7%),  $t_R$  13,3 (**12a**, 30,5%); **12a/18a** = 95:5; GC-Ausbeute (**18a** + **12a**): 97%. Chromatographie an 750 g Kieselgel wie in Kap. 2 ergab 550 mg (5%) öliges **18a** (GC (*CPTM-Wax*): 84proz.) und 8,14 g (84%) reines öliges **12a**, **18a**<sup>9</sup>: Sdp. ca. 140°/0,6 Torr; DC (AcOEt/Hexan 1:2):  $R_f$  0,65; GC (*CPTM-Wax*): 99proz.;  $[\alpha]_D^{20} = -27,0^\circ$  ( $c = 1$ , EtOH). CD (Dioxan): 294 (-0,44). IR ( $\text{CHCl}_3$ ): 3628m (OH), 3400m (OH), 1696s (C=O, Keton), 1354s ( $\text{CH}_3\text{CO}$ ), 1067s, 1040s (Alkohol-II-Banden).  $^1\text{H-NMR}$  (400 MHz): 0,852 (s, 3 H,  $\text{H}_3\text{C}(16)$ ); 1,034 (s, 3 H,  $\text{H}_3\text{C}(17)$ ); 1,273 (s, 3 H,  $\text{H}_3\text{C}(18)$ ); ca. 1,46–1,60 (*m*, 3 H, HO–C(2),  $\text{H}_\beta-\text{C}(4)$ ,  $\text{H}_\alpha-\text{C}(3)$ ?); 2,133 (s, 3 H,  $\text{CH}_3\text{CO}-\text{C}(5)$ ); ca. 2,14–2,28 (*m*, 2 H,  $\text{H}_\alpha-\text{C}(4)$ ,  $\text{H}_\beta-\text{C}(2)$ ?); 3,856 (*m*, 1 H,  $\text{H}_\alpha-\text{C}(2)$ ). MS: 170 (11,  $M^+$ ), 127 (31), 109 (66), 98 (45), 85 (38), 83 (72), 57 (65), 43 (100).



**12a**: Sdp. ca. 140°/0,6 Torr; DC: vgl. *Fussnote 5*; GC (*CPTM-Wax*): 97,7proz.;  $[\alpha]_D^{20} = +8,8^\circ$  ( $c = 1$ , EtOH). IR,  $^1\text{H-NMR}$ : identisch mit denjenigen von **12a** in Kap. 8.

12. *f/(1 R, 3 R)-3-Acetoxy-1,2,2-trimethylcyclopentyl)methylketon* (= Essigsäure-*f/(1 R, 3 R)-3-acetyl-2,2,3-trimethylcyclopentyl*ester; **18b**). Aus **18a** wie in Kap. 9. Kugelrohrdestillation bei ca. 100°/0,07 Torr ergab 505 mg (81%) **18b** als farbloses Öl; GC (*CPTM-Wax*): 90,5proz.;  $[\alpha]_D^{20} = +29,6^\circ$  ( $c = 1$ , EtOH). IR (Film): 1737s (C=O, Acetat), 1699s (C=O, Keton), 1249s (Esterbande).  $^1\text{H-NMR}$  (400 MHz): 0,881 (s, 3 H,  $\text{H}_3\text{C}(16)$ ); 1,070 (s, 3 H,  $\text{H}_3\text{C}(17)$ ); 1,267 (s, 3 H,  $\text{H}_3\text{C}(18)$ ); ca. 1,55, 1,61, 2,26, 2,36 (4 *m*, 4 H,  $\text{H}_2\text{C}(3)$ ,  $\text{H}_2\text{C}(4)$ ); 2,052 (s, 3 H,  $\text{CH}_3\text{COO}-\text{C}(2)$ ); 2,145 (s, 3 H,  $\text{CH}_3\text{CO}-\text{C}(5)$ ); 4,875 (*dd*,  $J = 7,4, 3,6$ ,  $\text{H}_\alpha-\text{C}(2)$ ). MS: 212 (3,  $M^+$ ), 169 (7), 152 (10), 127 (71), 109 (87), 43 (100).



13. Hydroborierung von **16** mit verschiedenen Boranen. 13.1. Mit Diboran. Zu einer Lösung von 1,2 ml (2,4 mmol) 2M Boranlösung in abs. THF [49] wurden bei 0° 1,08 g (5,2 mmol) **16**<sup>8</sup> in 3 ml abs. THF gegeben. Nach 20 Std. Rühren bei RT. und Aufarbeitung wie in Kap. 11 wurden 770 mg farbloses Öl erhalten. GC (*Superox 0,6*):  $t_R$  14,6 (17, 7,3%),  $t_R$  14,8 (**18a**, 26,9%),  $t_R$  15,3 (**12a**, 32,4%); **12a/17a/18a** = 48:11:41; GC-Ausbeute (**12a** + **17a** + **18a**): 59%.

13.2. Mit Thexylboran. Zu einer Lösung von 2,0 ml (4 mmol) 2M Boranlösung in abs. THF [49] wurden bei 0° 580 mg (6,5 mmol) 2,3-Dimethyl-2-butene (*Fluka*) gegeben und 4 Std. gerührt. Reaktion mit 1,08 g (5,2 mmol)

<sup>8</sup>) Gehalt nach GC (*Superox 0,6*): 94% **16**.

<sup>9</sup>) Zur Charakterisierung gelangte eine nochmals chromatographisch gereinigte Probe von **18a**.

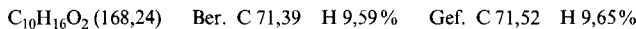
**16<sup>8)</sup>** und Aufarbeitung wie in Kap. 11 ergaben 1,16 g farbloses Öl. GC-Gehalt (Superox 0,6):  $t_R$  14,6 (**17a**, 2,4%),  $t_R$  14,8 (**18a**, 13,4%),  $t_R$  15,2 (**12a**, 33,4%); **12a/17a/18a** = 68:5:27; GC-Ausbeute (**12a + 17a + 18a**): 66%.

**13.3. Mit Diisamylboran.** Zu einer Lösung von 3,0 ml (6 mmol) 2M Boranlösung in abs. THF [49] wurden bei 0° 910 mg (13 mmol) 2-Methyl-2-butene (*Fluka*) gegeben und 4 Std. gerührt (0°). Reaktion mit 1,08 g (5,2 mmol) **16<sup>8)</sup>** und Aufarbeitung wie in Kap. 11 ergaben 1,25 g farbloses Öl. GC (Superox 0,6):  $t_R$  14,1 (**17a**, 3,1%),  $t_R$  14,8 (**18a**, 12,5%),  $t_R$  15,2 (**12a**, 42,4%); **12a/17a/18a** = 73:5:22; GC-Ausbeute (**12a + 17a + 18a**): 84%.

**13.4. Mit 9-Borabicyclo[3.3.1]nonan (9-BBN).** Zu einer Suspension von 760 mg (6,2 mmol) 9-Borabicyclo[3.3.1]nonan (*Aldrich*) in 2 ml abs. THF wurden 1,08 g (5,2 mmol) **16<sup>8)</sup>** in 1 ml abs. THF gegeben und 20 Std. bei RT. gerührt. Aufarbeitung wie in Kap. 11 ergab 1,01 g farbloses Öl. GC (Superox 0,6):  $t_R$  14,1 (**17a**, 4,3%),  $t_R$  15,3 (**12a**, 10,3%); **12a/17a** = 71:29; GC-Ausbeute (**12a + 17a**): 17%.

**13.5. Mit (-)-Diisopinocampheylboran.** (-)-Diisopinocampheylboran wurde wie in Kap. 3.5 aus 3 ml (6 mmol) 2M Boranlösung in abs. THF [49] und 1,89 g (13,9 mmol) (+)- $\alpha$ -Pinen hergestellt und bei 0° mit 1,08 g (5,2 mmol) **16<sup>8)</sup>** versetzt. Röhren (RT./20 Std.) und Aufarbeitung wie in Kap. 11 ergaben 2,69 g farbloses Öl. GC (Superox 0,6):  $t_R$  14,2 (**17a**, 2,7%),  $t_R$  14,8 (**18a**, 12,9%),  $t_R$  15,2 (**12a**, 15,6%); **12a/17a/18a** = 50:9:41; GC-Ausbeute (**12a + 17a + 18a**): 95%.

**14. (*R*)-3-Acetyl-3,4,4-trimethylcyclopentanon (19).** 14.1. Durch Oxydation von **12a**. Zu einer Lösung von 500 mg (2,94 mmol) **12a** in 5 ml  $\text{CH}_2\text{Cl}_2$  wurden bei RT. unter Röhren 1,6 g (7,4 mmol) Pyridiniumchlorochromat (*Fluka*) gegeben. Nach 2 Std. wurde die schwarze Suspension auf 200 ml  $\text{Et}_2\text{O}$  geleert, mit 10proz.  $\text{H}_2\text{SO}_4$ , ges.  $\text{NaHCO}_3$ - und ges.  $\text{NaCl}$ -Lösung gewaschen. Eindampfen der org. Phase i. RV. und Kristallisation des Rückstandes aus heissem Hexan ergaben 270 mg (55%) **19**, Smp. 93,5–94,5°;  $[\alpha]_D^{20} = -6,6^\circ$  ( $c = 1$ , EtOH). CD (Dioxan): 320 (−0,92), 318 (−0,84), 309 (−1,79), 304 (−1,40), 299 (−1,84), 291 sh (−1,36), 281 (−0,89). IR (KBr): 1745s ( $\text{C}=\text{O}$ , Fünfring), 1694s ( $\text{C}=\text{O}$ , Acetyl), 1352s ( $\text{CH}_3\text{CO}$ ).  $^1\text{H-NMR}$  (60 MHz): 1,06, 1,23 (2 s, je 3 H,  $\text{H}_3\text{C}(16)$ ,  $\text{H}_3\text{C}(17)$ ); 1,37 (s, 3 H,  $\text{H}_3\text{C}(18)$ ); 2,02 (d,  $J = 19$ , ca. 1 H, H–C(4)); 2,25 (s, 5 H,  $\text{CH}_3\text{C}(5)$ ,  $\text{H}_2\text{C}(2)$ ); 2,95 (d,  $J = 18,7$ , 1 H, H–C(4)). MS: 168 ( $1, M^+$ ), 126 (13), 112 (62), 83 (100), 69 (45), 43 (44).



**14.2. Durch Oxydation von **17a**.** Oxydation von 460 mg (2,7 mmol) **17a** mit 1,5 g (7 mmol) Pyridiniumchlorochromat (*Fluka*) analog Kap. 14.1 ergab nach Kristallisation aus Hexan 263 mg (58%) **19**, Smp. 95°, Misch-Smp. (mit **19** aus Kap. 14.1) 94°;  $[\alpha]_D^{20} = -6,6^\circ$  ( $c = 1$ , EtOH). Spektroskopische Daten wie in Kap. 14.1.

**15. (*R*)-3-Acetyl-2,2,3-trimethylcyclopentanon (20) durch Oxydation von **18a**.** Oxydation von 2,00 g (11,8 mmol) **18a** mit 6,4 g (29,7 mmol) Pyridiniumchlorochromat (*Fluka*) analog Kap. 14.1 ergab nach Kristallisation aus  $\text{Et}_2\text{O}$ /Hexan (−20°) 720 mg (36%) kristallines **20**, Smp. 65–66,5°;  $[\alpha]_D^{20} = +24,6^\circ$  ( $c = 1$ , EtOH). CD (Dioxan): 316 sh (+1,16), 306 (+1,76), 300 sh (+1,55), 238 (0,00). IR ( $\text{CHCl}_3$ ): 1747s ( $\text{C}=\text{O}$ , Fünfring), 1704s ( $\text{C}=\text{O}$ , Acetyl), 1356s ( $\text{CH}_3\text{CO}$ ).  $^1\text{H-NMR}$  (80 MHz): 0,90, 1,08, 1,23 (3 s, je 3 H,  $\text{H}_3\text{C}(16)$ ,  $\text{H}_3\text{C}(17)$ ,  $\text{H}_3\text{C}(18)$ ); ca. 1,5–ca. 2,5 (m, 4 H,  $\text{H}_2\text{C}(3)$ ,  $\text{H}_2\text{C}(4)$ ); 2,17 (s, 3 H,  $\text{CH}_3\text{CO}-\text{C}(5)$ ).



**16. (3S,5R,3'S,5'R)-Capsorubin (2).** Zu 21 g (0,48 mol) 55proz. NaH-Dispersion (*Fluka*) in 600 ml abs. THF/Toluol 1:1 wurden 7,5 g (44 mmol) **12a** und 6,0 g (20 mmol) Crocetindialdehyd (**13**) [56] gegeben. Diese Lösung wurde bei RT. 6 Std. gerührt, dann auf 0° abgekühlt und vorsichtig mit 300 ml  $\text{H}_2\text{O}$  versetzt. Extraktion mit 2mal 300 ml  $\text{CH}_2\text{Cl}_2$  und Waschen mit halbges. NaCl ergab nach Eindampfen der org. Phase i. RV. einen festen Rückstand (15,2 g), der durch 230 g Kieselgel mit  $\text{CHCl}_3/\text{AcOEt}$  1:1 filtriert wurde. Dabei fiel ein dunkelroter Schaum an (12,0 g; HPLC: 63% 2 (all-trans)), der 2mal mit 150 ml Benzol digeriert und 1mal aus  $\text{CHCl}_3/\text{Benzol}/\text{Hexan}$  umkristallisiert wurde: 3,90 g (32% bzgl. **13**) **2** als dunkelrote, metallisch glänzende Kristalle mit Smp. 216°. DC ( $\text{CHCl}_3/\text{Aceton}$  9:1):  $R_f$  0,15; HPLC: 98,3% **2** (all-trans). UV/VIS (Hexan)<sup>10)</sup>: 297 (283), 423 sh (747), 445 (1450), 470 (2197), 504 (1998). UV/VIS (Benzol): 303 (343), 432 sh (741), 460 (1390), 487 (1990), 521 (1815). CD (Dioxan): 373 (−3,48), 363 sh (−3,13), 343 sh (−1,80), 334 sh (−1,16), 300 (+7,70), 271 sh (+0,93), 253 sh (−1,61), 247 (−2,02), 240 sh (−1,56), 234 sh (−1,02), 223 sh (+1,42), 219 (+2,23). IR, MS,  $^1\text{H-NMR}$  (270 MHz): identisch mit denjenigen von natürlichem **2** in Kap. 28 und in [41].

**17. (3S,5R,3'S,5'R)-Capsorubin-diacetat (= 3,3'-Di-O-acetyl capsorubin; **2a**).** Eine Lösung von 300 mg (0,5 mol) **2** in 8 ml Pyridin/ $\text{Ac}_2\text{O}$  3:1 wurde bei RT. 20 Std. stehen gelassen. Dann wurde auf 100 ml  $\text{CH}_2\text{Cl}_2$

<sup>10)</sup> Zur Aufnahme des UV/VIS wurde die Probe in 3 ml  $\text{CH}_2\text{Cl}_2$  oder  $\text{CHCl}_3$  gelöst und mit Hexan auf 100 ml verdünnt.

gegossen, mit 10proz.  $H_2SO_4$ , ges.  $NaHCO_3$  und ges.  $NaCl$  gewaschen und i. RV. eingedampft. Der Rückstand (310 mg) wurde aus Benzol/Hexan umkristallisiert: 240 mg (70%) **2a** als violette Kristalle mit Smp. 179–180°. DC ( $CHCl_3/Aceton$  9:1):  $R_f$  0,85; HPLC: 97,2% **2a** (all-trans). UV/VIS (Hexan)<sup>10</sup>: 298 (315), 424 sh (746), 446 (1450), 472 (2235), 506 (2070). CD (Dioxan): 373 (−3,19), 366 sh (−3,04), 357 sh (−2,63), 346 (−1,93), 301 (+6,95), 291 sh (+4,68), 284 sh (+2,88), 270 sh (+0,52), 260 sh (−0,71), 250 (−1,61), 222 (+1,90). IR (KBr): 1737s (C=O, Ester), 1664m (C=O, konj. Keton), 1586s, 1550s (C=C, konj.), 1250s, 1058s (Esterbanden), 988s ( $CH=CH$ , trans).  $^1H$ -NMR (400 MHz): 0,860 (s, 6 H,  $H_3C(16)$ ,  $H_3C(16')$ ); 1,181 (s, 6 H,  $H_3C(17)$ ,  $H_3C(17')$ ); 1,325 (s, 6 H,  $H_3C(18)$ ,  $H_3C(18')$ ); 1,571 (dd,  $J$  = 14,7, 2,7, 2 H,  $H_{\beta}-C(4)$ ,  $H_{\beta}-C(4')$ ); 1,755 (dd,  $J$  = 14, 4,5, 2 H,  $H_{\beta}-C(2)$ ,  $H_{\beta}-C(2')$ ); 1,960 (s, 6 H,  $H_3C(19)$ ,  $H_3C(19')$ ); 1,991 (s, 6 H,  $H_3C(20)$ ,  $H_3C(20')$ ); 2,029 (s, 6 H,  $CH_3COO-C(3)$ ,  $CH_3COO-C(3')$ ); 2,077 (dd,  $J$  = 14, 7,5, 2 H,  $H_x-C(2)$ ,  $H_x-C(2')$ ); 2,995 (dd,  $J$  = 14,5, 8, 2 H,  $H_x-C(4)$ ,  $H_x-C(4')$ ); 5,240 (m, 2 H,  $H_x-C(3)$ ,  $H_x-C(3')$ ); ca. 6,36 (m, 2 H,  $H-C(14)$ ,  $H-C(14')$ ); 6,437 (d,  $J$  = 15,2, 2 H,  $H-C(7)$ ,  $H-C(7')$ ); 6,521 (d,  $J$  = 15, 2 H,  $H-C(12)$ ,  $H-C(12')$ ); 6,552 (d,  $J$  = 11,5, 2 H,  $H-C(10)$ ,  $H-C(10')$ ); 6,643 (dd,  $J$  = 14,7, 11, 2 H,  $H-C(11)$ ,  $H-C(11')$ ); ca. 6,69 (m, 2 H,  $H-C(15)$ ,  $H-C(15')$ ); 7,337 (d,  $J$  = 15, 2 H,  $H-C(8)$ ,  $H-C(8')$ ).  $^{13}C$ -NMR (100,6 MHz, 80 mg in 0,4 ml): 12,76 (C(20), C(20')); 12,83 (C(19), C(19')); 20,79 (C(18), C(18')); 21,27 ( $CH_3COO-C(3)$ ,  $CH_3COO-C(3')$ ); 24,78, 25,60 (C(16), C(16'), C(17), C(17')); 42,21, 47,61 (C(4), C(4'), C(2), C(2')); 43,67 (C(1), C(1')); 58,49 (C(5), C(5')); 73,49 (C(3), C(3')); 120,84 (C(7), C(7')); 124,57 (C(11), C(11')); 131,22 (C(15), C(15')); 133,92 (C(9), C(9')); 134,99 (C(14), C(14')); 136,87 (C(13), C(13')); 140,61 (C(10), C(10')); 141,79 (C(12), C(12')); 146,93 (C(8), C(8')); 170,62 ( $CH_3COO-C(3)$ ,  $CH_3COO-C(3')$ ); 202,19 (C(6), C(6')). MS: 684 (5,  $M^+$ ), 624 (2), 578 (11), 518 (7), 487 (4), 145 (13), 109 (100), 106 (17), 105 (12), 91 (31), 43 (28).



18. (3 R, 5 R, 3' R, 5' R)-*Epicapsorubin* (**21a**). Reaktion von 1,50 g (8,8 mmol) **17a** und 1,20 g (4 mmol) **13** mit 4,2 g (96 mmol) 55proz. NaH-Dispersion (Fluka) in 120 ml abs. THF/Toluol 1:1 wie in Kap. 16 ergab 470 mg (20% bzgl. **13**) **21a** als feine, dunkelrote Kristalle mit Smp. 211,5–212°. DC ( $CHCl_3/Aceton$  9:1):  $R_f$  0,3; HPLC: 96% **21a** (all-trans). UV/VIS (Hexan)<sup>10</sup>: 301 (308), 431 sh (820), 453 (1495), 478 (2255), 513 (2075). CD (Dioxan): 376 (−2,86), 334 sh (−1,03), 302 (+6,82), 284 sh (+2,94), 276 sh (+1,34), 269 sh (+0,54), 251 (−1,99), 240 sh (−1,22), 235 sh (−0,84), 227 sh (+0,58). IR (KBr): 3500s (OH), 1655m (C=O, konj. Keton), 1586s, 1552s (C=C, konj.). 1070s, 1028s (Alkohol-II-Banden), 985s, 966s ( $CH=CH$ , trans).  $^1H$ -NMR (270 MHz): 0,953 (s, 12 H,  $H_3C(16)$ ,  $H_3C(16')$ ,  $H_3C(17)$ ,  $H_3C(17')$ ); 1,245 (s, 6 H,  $H_3C(18)$ ,  $H_3C(18')$ ); 1,51 (dd,  $J$  = 14, 5,5, 2 H,  $H_x-C(2)$ ,  $H_x-C(2')$ ); 1,978, 1,999 (2 s, 12 H,  $H_3C(19)$ ,  $H_3C(19')$ ,  $H_3C(20)$ ,  $H_3C(20')$ ); ca. 2,0–2,20 (m, ca. 6 H,  $H_{\beta}-C(2)$ ,  $H_{\beta}-C(2')$ ,  $H_2C(4)$ ,  $H_2C(4')$ ); 3,71 (d,  $J$  = 10,7, 2 H,  $HO-C(3)$ ,  $HO-C(3')$ ); 4,31 (m, 2 H,  $H-C(3)$ ,  $H-C(3')$ ); 6,38 (m, 2 H,  $H-C(14)$ ,  $H-C(14')$ ); 6,51 (d,  $J$  = 15, ca. 2 H,  $H-C(7)$ ,  $H-C(7')$ ); 7,367 (d,  $J$  = 15,3, 2 H,  $H-C(8)$ ,  $H-C(8')$ ); versuchsweise zugeordnet: 6,54 (d?,  $J$  = 15, 2 H,  $H-C(12)$ ,  $H-C(12')$ ); 6,59 (d?,  $J$  = 11,5, 2 H,  $H-C(10)$ ,  $H-C(10')$ ); 6,67 (dd,  $J$  = 15, 11, 2 H,  $H-C(11)$ ,  $H-C(11')$ ); ca. 6,71 (m, 2 H,  $H-C(15)$ ,  $H-C(15')$ ).  $^{13}C$ -NMR (100,6 MHz, 2,3 mg in 0,4 ml): 12,80, 12,87 (C(19), C(19'), C(20), C(20')); 19,50 (C(18), C(18')); 25,04, 25,66 (C(16), C(16'), C(17), C(17')); 45,61 (C(1), C(1')); 46,67, 51,34 (C(4), C(4'), C(2), C(2')); 58,75 (C(5), C(5'), C(5)); 70,18 (C(3), C(3')); 121,69 (C(7), C(7')); 124,67 (C(11), C(11')); 131,34 (C(15), C(15')); 134,08 (C(9), C(9')); 135,14 (C(14), C(14')); 137,02 (C(13), C(13')); 141,08 (C(10), C(10')); 142,07 (C(12), C(12')); 147,15 (C(8), C(8')); 206,11 (C(6), C(6')). MS: 600 (1,  $M^+$ ), 165 (11), 145 (19), 119 (14), 109 (100), 106 (24), 105 (25), 91 (51), 83 (34).

19. (3 R, 5 R, 3' R, 5' R)-*Epicapsorubin-diacetat* (= 3,3'-Di-O-acetyl epicapsorubin; **21b**). Acetylierung von 250 mg (0,42 mmol) **21a** mit 8 ml Pyridin/ $Ac_2O$  3:1 wie in Kap. 17 ergab 215 mg (75%) **21b** als dunkelrote Kristalle mit Smp. 214°. DC ( $CHCl_3/Aceton$  9:1):  $R_f$  0,95, HPLC: 98% **21b** (all-trans). UV/VIS (Hexan)<sup>10</sup>: 279 (277), 424 sh (650), 446 (1265), 472 (1940), 506 (1798). CD (Dioxan): 375 (−2,34), 370 sh (−2,30), 328 (−0,63), 325 sh (−0,65), 302 (+6,05), 290 sh (+3,85), 284 sh (+2,50), 276 sh (+1,07), 269 sh (+0,51), 265 sh (+0,35), 254 sh (−1,01), 250 (−1,23), 220 (+2,17). IR (KBr): 1736s (C=O, Ester), 1667m (C=O, konj. Keton), 1585s, 1551s (C=O, konj.), 1250s, 1032s (Esterbanden), 986s ( $CH=CH$ , trans).  $^1H$ -NMR (400 MHz): 0,963 (s, 6 H,  $H_3C(16)$ ,  $H_3C(16')$ ); 1,138, 1,195 (2 s, 12 H,  $H_3C(16)$ ,  $H_3C(16')$ ,  $H_3C(17)$ ,  $H_3C(17')$ ); 1,670 (dd,  $J$  = 14,3, 3, 2 H,  $H_x-C(2)$ ,  $H_x-C(2')$ ); 1,971 (s, 6 H,  $H_3C(19)$ ,  $H_3C(19')$ ); 1,994 (s, 6 H,  $H_3C(20)$ ,  $H_3C(20')$ ); 2,045 (s, 6 H,  $CH_3COO-C(3)$ ,  $CH_3COO-C(3')$ ); 2,081 (dd,  $J$  = 14,3, 8,5, 2 H,  $H_{\beta}-C(4)$ ,  $H_{\beta}-C(4')$ ); 2,168 (dd,  $J$  = 14,2, 8,3, 2 H,  $H_{\beta}-C(2)$ ,  $H_{\beta}-C(2')$ ); 2,653 (dd,  $J$  = 14,3, 6, 2 H,  $H_x-C(4)$ ,  $H_x-C(4')$ ); 5,193 (m, 2 H,  $H_{\beta}-C(3)$ ,  $H_{\beta}-C(3')$ ); ca. 6,445 (m, 2 H,  $H-C(14)$ ,  $H-C(14')$ ); 6,481 (d,  $J$  = 15,3, 2 H,  $H-C(7)$ ,  $H-C(7')$ ); 6,547 (d,  $J$  = 15, ca. 2 H,  $H-C(12)$ ,  $H-C(12')$ ); 6,617 (d,  $J$  = 12, ca. 2 H,  $H-C(10)$ ,  $H-C(10')$ ); 6,651 (dd,  $J$  = 14,8, 11, 2 H,  $H-C(11)$ ,  $H-C(11')$ ); ca. 6,697 (m, 2 H,  $H-C(15)$ ,  $H-C(15')$ ); 7,371 (d,  $J$  = 15, 2 H,  $H-C(8)$ ,  $H-C(8')$ ).  $^{13}C$ -NMR (100,6 MHz, 62 mg in 0,4 ml): 12,78 (C(20), C(20')); 12,85 (C(19), C(19'));

21,11 (C(18), C(18')); 21,26 ( $\text{CH}_3\text{COO}-\text{C}(3)$ ,  $\text{CH}_3\text{COO}-\text{C}(3')$ ); 24,66, 26,24 (C(16), C(16'), C(17), C(17')); 41,90 (C(4), C(4')); 43,02 (C(1), C(1')); 47,06 (C(2), C(2')); 58,57 (C(5), C(5')); 72,95 (C(3), C(3')); 120,76 (C(7), C(7')); 124,59 (C(11), C(11')); 131,23 (C(15), C(15')); 133,97 (C(9), C(9')); 134,99 (C(14), C(14')); 136,90 (C(13), C(13')); 140,65 (C(10), C(10')); 141,82 (C(12), C(12')); 147,16 (C(8), C(8')); 170,88 ( $\text{CH}_3\text{COO}-\text{C}(3)$ ,  $\text{CH}_3\text{COO}-\text{C}(3')$ ); 201,74 (C(6), C(6')). MS: 684 (10,  $M^+$ ), 578 (13), 487 (4), 197 (10), 155 (79), 109 (100), 91 (30), 43 (30).

$\text{C}_{44}\text{H}_{60}\text{O}_6$  (684,96) Ber. C 77,16 H 8,83% Gef. C 77,16 H 8,70%

20. (2 R, 5 R, 2' R, 5' R)-*Isocapsorubin* (**22a**). Reaktion von 3,00 g (17,6 mmol) **18a** und 2,40 g (8,1 mmol) **13** mit 8,4 g (0,2 mol) 55proz. NaH-Dispersion (*Fluka*) in 240 ml abs. THF/Toluol 1:1 wie in Kap. 16 ergab 1,91 g (39% bzgl. **13**) **22a** als feine rote Kristalle mit Smp. 204–206°. DC ( $\text{CHCl}_3/\text{Aceton}$  9:1):  $R_f$  0,25; HPLC: 94,2% **22a** (all-*trans*). UV/VIS (Hexan)<sup>10</sup>: 297 (281), 424 (757), 444 (1440), 469 (2200), 503 (2016). CD (Dioxan): 374 (−3,90), 366 sh (−3,59), 356 sh (−2,96), 342 sh (−1,82), 326 sh (−0,80), 301 (+8,44), 289 sh (+5,17), 268 sh (+0,43), 252 (−2,33), 243 sh (−1,83), 239 sh (−1,46), 231 sh (+0,01), 221 (+2,77). IR (KBr): 3500m (OH), 1675m (C=O, konj. Keton), 1595s, 1560s (C=C, konj.), 1035s (Alkohol-II-Bande), 980s ( $\text{CH}=\text{CH}$ , *trans*).  $^1\text{H-NMR}$  (270 MHz): 0,836 (s, 6 H,  $\text{H}_3\text{C}(16)$ ,  $\text{H}_3\text{C}(16')$ ); 1,061 (s, 6 H,  $\text{H}_3\text{C}(17)$ ,  $\text{H}_3\text{C}(17')$ ); 1,312 (s, 6 H,  $\text{H}_3\text{C}(18)$ ,  $\text{H}_3\text{C}(18')$ ); *ca.* 1,48–1,67 (m, *ca.* 6 H, H–C(3), H–C(3'), H–C(4), H–C(4'), HO–C(2), HO–C(2')); 1,969 (s, 6 H,  $\text{H}_3\text{C}(20)$ ,  $\text{H}_3\text{C}(20')$ ); 1,995 (s, 6 H,  $\text{H}_3\text{C}(19)$ ,  $\text{H}_3\text{C}(19')$ ); *ca.* 2,18–2,43 (m, 4 H, H–C(3), H–C(3'), H–C(4), H–C(4')); 3,870 (br. m, 2 H,  $\text{H}_x-\text{C}(2)$ ,  $\text{H}_x-\text{C}(2')$ ); *ca.* 6,36 (br. m, 2 H, H–C(14), H–C(14')); 6,463 (d,  $J$  = 15, 2 H, H–C(7), H–C(7')); 6,519 (d,  $J$  = 15, *ca.* 2 H, H–C(12), H–C(12')); 6,556 (d,  $J$  = 11, 2 H, H–C(10), H–C(10')); 6,655 (dd,  $J$  = 15, 11, 2 H, H–C(11), H–C(11')); *ca.* 6,70 (m, *ca.* 2 H, H–C(15), H–C(15')); 7,322 (d,  $J$  = 15, 2 H, H–C(8), H–C(8')).  $^{13}\text{C-NMR}$  (100,6 MHz, *ca.* 0,6 mg in 0,2 ml): 12,80 (C(20), C(20')); 12,88 (C(19), C(19')); 18,13, 21,31, 23,83 (C(16), C(16'), C(17), C(17'), C(18), C(18')); 30,80, 32,14 (C(3), C(3'), C(4), C(4')); 46,97 (C(1), C(1')); 58,14 (C(5), C(5')); 81,82 (C(2), C(2')); 121,61 (C(7), C(7')); 124,68 (C(11), C(11')); 131,22 (C(15), C(15')); 134,12 (C(9), C(9')); 134,90 (C(14), C(14')); 136,96 (C(13), C(13')); 140,36 (C(10), C(10')); 141,68 (C(12), C(12')); 146,65 (C(8), C(8')); 203,55 (C(6), C(6')). MS: 600 (5,  $M^+$ ), 494 (8), 145 (10), 127 (53), 109 (38), 106 (58), 91 (100), 83 (26), 43 (21).

$\text{C}_{40}\text{H}_{56}\text{O}_4$  (600,88) Ber. C 79,96 H 9,39% Gef. C 79,87 H 9,48%

21. (2 R, 5 R, 2' R, 5' R)-*Isocapsorubin-diacetat* (= 2,2'-*Di-O-acetylisocapsorubin*; **22b**). Acetylierung von 300 mg (0,5 mmol) **22a** mit 4 ml Pyridin/ $\text{Ac}_2\text{O}$  3:1 wie in Kap. 17 ergab 200 mg (58%) **22b** als violettes Pulver mit Smp. 183–184°. DC ( $\text{CHCl}_3/\text{Aceton}$  9:1):  $R_f$  0,95; HPLC: 98% **22b** (all-*trans*). UV/VIS (Hexan)<sup>10</sup>: 298 (315), 424 (737), 446 (1438), 472 (2210), 506 (2042). CD (Dioxan): 406 (−1,07), 393 sh (−1,71), 376 (−4,32), 343 sh (−2,00), 326 sh (−0,61), 302 (+9,73), 270 sh (+0,94), 269 sh (+0,83), 252 (−2,07), 239 sh (−0,96), 231 (+0,15), 228 sh (+0,93), 219 (+2,78). IR (KBr): 1733s (C=O, Ester), 1666m (C=O, konj. Keton), 1585s, 1547s (C=C, konj.), 1251s, 1037s (Esterbanden).  $^1\text{H-NMR}$  (400 MHz): 0,863 (s, 6 H,  $\text{H}_3\text{C}(16)$ ,  $\text{H}_3\text{C}(16')$ ); 1,106 (s, 6 H,  $\text{H}_3\text{C}(17)$ ,  $\text{H}_3\text{C}(17')$ ); 1,317 (s, 6 H,  $\text{H}_3\text{C}(18)$ ,  $\text{H}_3\text{C}(18')$ ); *ca.* 1,55–1,69 (m, 4 H), 2,31 (m, 2 H) und 2,51 (m, 2 H,  $\text{H}_2\text{C}(3)$ ,  $\text{H}_2\text{C}(3')$ ,  $\text{H}_2\text{C}(4)$ ,  $\text{H}_2\text{C}(4')$ ); 1,967 (s, 6 H,  $\text{H}_3\text{C}(19)$ ,  $\text{H}_3\text{C}(19')$ ); 1,993 (s, 6 H,  $\text{H}_3\text{C}(20)$ ,  $\text{H}_3\text{C}(20')$ ); 2,060 (s, 6 H,  $\text{CH}_3\text{COO}-\text{C}(2)$ ,  $\text{CH}_3\text{COO}-\text{C}(2')$ ); 4,881 (dd,  $J$  = 7,5, 4, 2 H, H–C(2), H–C(2')); *ca.* 6,36 (br. m, 2 H, H–C(14), H–C(14')); 6,453 (d,  $J$  = 15, 2 H, H–C(7), H–C(7')); 6,525 (d,  $J$  = 15, 2 H, H–C(12), H–C(12')); 6,560 (d,  $J$  = 12, *ca.* 2 H, H–C(10), H–C(10')); 6,646 (dd,  $J$  = 14,7, 11, 2 H, H–C(11), H–C(11')); 6,700 (m, 2 H, H–C(15), H–C(15')); 7,349 (d,  $J$  = 15, 2 H, H–C(8), H–C(8')).  $^{13}\text{C-NMR}$  (100,6 MHz, 60 mg in 0,4 ml): 12,78 (C(20), C(20')); 12,84 (C(19), C(19')); 18,93, 21,19, 24,29 (C(16), C(16'), C(17), C(17'), C(18), C(18')); 21,19 ( $\text{CH}_3\text{COO}-\text{C}(2)$ ,  $\text{CH}_3\text{COO}-\text{C}(2')$ ); 28,37 (C(3), C(3')); 32,32 (C(4), C(4')); 46,68 (C(1), C(1')); 58,26 (C(5), C(5')); 83,81 (C(2), C(2')); 121,05 (C(7), C(7')); 124,59 (C(11), C(11')); 131,21 (C(15), C(15')); 133,95 (C(9), C(9')); 134,96 (C(14), C(14')); 136,89 (C(13), C(13')); 140,56 (C(10), C(10')); 141,77 (C(12), C(12')); 147,00 (C(8), C(8')); 170,31 ( $\text{CH}_3\text{COO}-\text{C}(2)$ ,  $\text{CH}_3\text{COO}-\text{C}(2')$ ); 202,32 (C(6), C(6')). MS: 684 (11,  $M^+$ ), 624 (5), 578 (19), 518 (9), 487 (6), 263 (13), 197 (10), 169 (39), 145 (21), 127 (100), 109 (92), 106 (21), 91 (42), 43 (75).

$\text{C}_{44}\text{H}_{60}\text{O}_6$  (684,96) Ber. C 77,16 H 8,83% Gef. C 77,42 H 8,81%

22. (3 R, 3' S, 5' R)-*Capsanthin* (**1**). Zu 6,5 g (0,15 mol) 55proz. NaH-Dispersion (*Fluka*) in 200 ml abs. THF/Toluol 1:1 wurden 2,4 g (14,1 mmol) **12a** und 4,7 g (10,8 mmol)  $\beta$ -Citraurin (**23**) [57] gegeben. Diese Lösung wurde bei RT. 18 Std. gerührt. Aufarbeitung wie in Kap. 16 ergab nach Filtration durch Kieselgel einen dunkelroten Schaum (7,7 g; HPLC: 69,5% **1** (all-*trans*)), der 2mal aus Benzol/Hexan umkristallisiert wurde: 2,91 g (46% bzgl. **23**) **1** als feine rote Kristalle mit Smp. 167–170°. Mehrmals umkristallisierte Analysenprobe:

Smp. 177,5°; DC (CHCl<sub>3</sub>/Aceton 9:1): R<sub>f</sub> 0,22; HPLC: 99,0% **1** (all-*trans*). UV/VIS (Hexan)<sup>10</sup>: 284 (376), 353 (170), 450 sh (1652), 470 (2050), 497 (1650). CD (Dioxan): 387 sh (-0,16), 375 sh (+0,60), 368 sh (+1,04), 358 (+1,65), 344 sh (+0,97), 330 sh (-0,10), 300 (-7,86), 295 sh (-7,16), 292 sh (-6,63), 271 sh (-0,18), 256 (+5,27), 249 sh (+4,34), 238 sh (+0,30), 234 sh (-1,69), 233 sh (-2,21), 225 (-4,72). IR, MS, <sup>1</sup>H-NMR (400 MHz): identisch mit denjenigen von natürlichem **1** in Kap. 28.

23. (3' S, 5' R)-*Kryptocapsin* (**3**). Zu einer Lösung von 1,70 g (10 mmol) **12a** und 3,74 g (9 mmol)  $\beta$ -Apo-8'-carotinal (**24**) [58] in 40 ml Toluol wurden bei 0° 2,5 ml (ca. 32 mmol) 50proz. NaNH<sub>2</sub>-Suspension in Toluol (*Fluka*) gegeben. Nach 5 Std. Röhren bei 0°, Aufarbeitung wie in Kap. 16, Filtration durch Kieselgel und Kristallisierung aus heißem AcOEt wurden 1,87 g (37% bzgl. **24**) **3** als violette, metallisch glänzende Kristalle mit Smp. 163–164° erhalten (HPLC: 97% **3** (all-*trans*)). Nochmals umkristallisierte Analysenprobe: Smp. 172–174°; DC (CHCl<sub>3</sub>/Aceton 9:1): R<sub>f</sub> 0,45; HPLC: 97,5% **3** (all-*trans*). UV/VIS (Hexan)<sup>10</sup>: 284 (390), 354 (260), 452 sh (1780), 472 (2110), 494 sh (1685). UV/VIS (Benzol): 289 (328), 462 sh (1510), 485 (1810), 506 sh (1525). CD (Dioxan): 365 (-1,14), 355 sh (-0,90), 348 sh (-0,74), 332 sh (-0,30), 318 sh (-0,04), 294 (+2,52), 289 sh (+2,37), 268 sh (+0,45), 257 sh (-0,37), 254 sh (-0,45), 241 sh (-0,77), 238 (-0,84), 229 (+0,11). IR (KBr): 3440m (OH), 1668s (C=O, konj. Keton), 1580s, 1558s, 1516s (C=C, konj.), 1055s, 1007s (Alkohol-II-Banden), 968s (CH=CH, *trans*). <sup>1</sup>H-NMR (400 MHz): 0,840 (s, 3 H, H<sub>3</sub>C(16')); 1,031 (s, 6 H, H<sub>3</sub>C(16), H<sub>3</sub>C(17)); 1,207 (s, 3 H, H<sub>3</sub>C(17')); 1,367 (s, 3 H, H<sub>3</sub>C(18')); 1,719 (s, 3 H, H<sub>3</sub>C(18)); 1,957 (s, 3 H, H<sub>3</sub>C(19')); 1,976 (s, 6 H, H<sub>3</sub>C(19), H<sub>3</sub>C(20)); 1,990 (s, 3 H, H<sub>3</sub>C(20')); 2,956 (dd, J = 14,5, 8,7, 1 H, H<sub>x</sub>-C(4')); 4,510 (m, 1 H, H<sub>x</sub>-C(3')); 6,140 (d, J = 16,3, ca. 1 H, H-C(8)); ca. 6,15 (d?, 1 H, H-C(10)); 6,188 (d, J = 16,3, 1 H, H-C(7)); 6,260 (br. d, J = 11,5, 1 H, H-C(14)); ca. 6,356 (2 d?, 2 H, H-C(14'), H-C(12)); 6,443 (d, J = 15, 1 H, H-C(7')); 6,522 (d?, J = 15, ca. 1 H, H-C(12')); 6,553 (d?, J = 11, H-C(10')); ca. 6,58–6,74 (m, 4 H, H-C(11), H-C(11'), H-C(15), H-C(15')); 7,326 (d, J = 15, 1 H, H-C(8')). <sup>13</sup>C-NMR (100,6 MHz, 50 mg in 0,4 ml): 12,72, 12,78, 12,82, 12,87 (C(19), C(19'), C(20), C(20')); 19,28 (C(3)); 21,35 (C(18')); 21,77 (C(18)); 25,10, 25,89 (C(16'), C(17')); 28,99 (C(16), C(17)); 33,14 (C(4)); 34,28 (C(1)); 39,69 (C(2)); 43,95 (C(1)); 45,31 (C(4)); 50,89 (C(2)); 58,91 (C(5)); 70,24 (C(3)); 120,91 (C(7)); 124,04 (C(11)); 125,71 (C(11)); 126,97 (C(7)); 129,46 (C(5)); 129,60 (C(15)); 130,82 (C(10)); 131,73 (C(15')); 132,22 (C(14)); 133,58 (C(9)); 135,36 (C(14)); 135,79 (C(13)); 136,47 (C(9)); 137,09 (C(12)?); 137,68 (C(13)); 137,74 (C(8)?); 137,94 (C(6)); 140,76 (C(10)); 142,05 (C(12)); 146,90 (C(8)); 202,94 (C(6')). MS: 568 (56, M<sup>+</sup>), 462 (18), 145 (42), 127 (22), 119 (50), 109 (100), 105 (50), 91 (52), 83 (72), 69 (70), 55 (67), 41 (63).

24. (3' S, 5' R)-*Kryptocapsin-acetat* (= 3'-O-Acetyl*kryptocapsin*; **3a**). Acetylierung von 300 mg (0,53 mmol) **3** mit 8 ml Ac<sub>2</sub>O/Pyridin 1:3 wie in Kap. 17 ergab 187 mg (58%) **3a** als grosse violette Nadeln mit Smp. 153–155°. DC (CHCl<sub>3</sub>/Aceton 9:1): R<sub>f</sub> 0,95; HPLC: 99% **3a** (all-*trans*). UV/VIS (Hexan)<sup>10</sup>: 284 (295), 357 (120), 456 sh (1635), 472 (1925), 497 sh (1535). CD (Dioxan): 412 (-0,37), 408 (-0,14), 403 (-0,40), 396 (-0,24), 387 (-0,68), 380 (-0,40), 364 (-1,04), 358 (-0,97), 356 (-0,99), 344 sh (-0,50), 343 (-0,47), 339 (-0,51), 326 (-0,16), 322 (-0,36), 314 (+0,08), 313 (+0,10), 302 sh (+1,68), 294 (+2,42), 289 sh (+2,27), 288 (+2,21), 275 (+1,24), 269 (+0,74), 261 sh (-0,15), 255 (-0,53), 250 (-0,42), 242 (-1,31), 236 (-0,51), 233 (-0,84), 227 sh (+0,09), 223 (+0,80), 219 (+0,50). IR (KBr): 1740s (C=O, Ester), 1670m (C=O, konj. Keton), 1581s, 1558s, 1518s (C=C, konj.), 1250s, 1058s (Esterbanden), 970s (CH=CH, *trans*). <sup>1</sup>H-NMR (400 MHz): 0,859 (s, 3 H, H<sub>3</sub>C(16')); 1,030 (s, 6 H, H<sub>3</sub>C(16), H<sub>3</sub>C(17)); 1,181 (s, 3 H, H<sub>3</sub>C(17')); 1,325 (s, 3 H, H<sub>3</sub>C(18')); 1,467 (m, 2 H, H<sub>2</sub>C(2)); 1,573 (dd, J = 14, 3, 1 H, H<sub>x</sub>-C(4)); ca. 1,62 (m, 2 H, H<sub>2</sub>C(3)); 1,718 (s, 3 H, H<sub>3</sub>C(18)); 1,751 (dd, J = 14, 4,5, 1 H, H<sub>x</sub>-C(2)); 1,955 (s, 3 H, H<sub>3</sub>C(19')); 1,976 (s, 6 H, H<sub>3</sub>C(19), H<sub>3</sub>C(20)); 1,989 (s, 3 H, H<sub>3</sub>C(20')); 2,028 (s, 3 H, CH<sub>3</sub>COO-C(3)); 2,080 (dd, J = 14, 8, 1 H, H<sub>x</sub>-C(2)); 2,996 (dd, J = 14,6, 8,8, 1 H, H<sub>x</sub>-C(4)); 5,240 (m, 1 H, H<sub>x</sub>-C(3)); 6,139, 6,189 (AB, J = 16,5, H-C(7), H-C(8)); 6,151 (d?, 1 H, H-C(10)); 6,257 (d, J = 11,5, 1 H, H-C(14)); ca. 6,355 (d, J = 15, 1 H, H-C(12)); 6,357 (d, J = 11, 1 H, H-C(14)); 6,425 (d, J = 15, 1 H, H-C(7)); versuchsweise zugeordnet: 6,522 (d, J = 15, H-C(12')); 6,553 (d, J = 12, H-C(10)); ca. 6,6–6,7 (m, 4 H, H-C(11), H-C(11'), H-C(15), H-C(15')); 7,322 (d, J = 15, 1 H, H-C(8')). <sup>13</sup>C-NMR (100,6 MHz, 50 mg in 0,6 ml): 12,73, 12,79, 12,83, 12,88 (C(19), C(19'), C(20), C(20)); 19,33 (C(3)); 20,88, 24,80, 25,65 (C(16'), C(17'), C(18')); 20,88 (CH<sub>3</sub>COO-C(3)); 21,76 (C(18)); 29,01 (C(16), C(17)); 33,16 (C(4)); 34,21 (C(1)); 39,75 (C(2)); 42,24 (C(4)); 43,71 (C(1)); 47,69 (C(2)); 58,54 (C(5)); 73,60 (C(3')); 120,64 (C(7)); 124,00 (C(11)); 125,73 (C(11)); 126,98 (C(7)); 129,42 (C(5)); 129,55 (C(15')); 130,78 (C(10)); 131,78 (C(15)); 132,17 (C(14)); 133,51 (C(9)); 135,39 (C(14')); 135,74 (C(13)); 136,47 (C(9)); 137,06 (C(13)); 137,70, 137,74 (C(8), C(12)); 137,96 (C(6)); 140,90 (C(10)); 142,12 (C(12)); 147,16 (C(8)); 170,79 (CH<sub>3</sub>COO-C(3')); 202,38 (C(6')). MS: 610 (3, M<sup>+</sup>), 550 (43), 444 (18), 145 (35), 119 (42), 109 (100), 105 (48), 95 (50), 91 (58), 69 (45), 55 (48).

C<sub>42</sub>H<sub>58</sub>O<sub>3</sub> (610,92) Ber. C 82,57 H 9,57% Gef. C 82,19 H 9,30%

25. (*5 R, 5' R*)-*Capsorubon* (**4**). Eine Suspension von 300 mg (0,5 mmol) **2** und 12 g Aluminium-*tert*-butylat (*Fluka*) in 90 ml Benzol und 75 ml Aceton in einer Ampulle wurde 45 Std. bei 95° gerührt (Magnetrührer), dann auf 200 ml Äther geleert, mit 10proz. wässr. KOH und ges. NaCl gewaschen und i. RV. eingedampft. Reinigung an 4 präp. DC-Pfatten (Kieselgel) mit CHCl<sub>3</sub>/Aceton 9:1 ergab 190 mg dunkelrotes Öl. Kristallisation aus Benzol/MeOH (0°) lieferte 12 mg **4** als feine, schwarze Kristalle mit Smp. 217° ([31]: 209–210°). DC (CHCl<sub>3</sub>/Aceton 9:1): *R*<sub>f</sub> 0,85. HPLC: 96% **4** (all-*trans*). UV/VIS (Hexan)<sup>10</sup>: 301 (305), 378 (278), 423 sh (792), 451 (1472), 476 (2083), 510 (1836). UV/VIS (Benzol): 307 (263), 439 sh (730), 468 sh (1273), 491 (1730), 525 (1510). CD (Dioxan): 407 sh (−0,90), 404 sh (−0,99), 378 (−3,10), 365 sh (−2,66), 345 sh (−1,61), 329 sh (−0,82), 324 (−1,13), 314 sh (+1,83), 304 (+6,28), 296 sh (+4,28), 285 sh (+1,68), 271 sh (−0,23), 263 sh (−1,07), 255 sh (−1,59), 250 sh (−1,65), 245 (−1,37), 241 (−1,58). IR (KBr): 1746s (C=O, Fünfring), 1665m (C=O, konj. Keton), 1584s, 1550s (C=C, konj.), 966m (CH=CH, *trans*). <sup>1</sup>H-NMR (400 MHz): 1,013 (s, 6 H, H<sub>3</sub>C(16), H<sub>3</sub>C(16')); 1,243 (s, 6 H, H<sub>3</sub>C(17), H<sub>3</sub>C(17')); 1,389 (s, 6 H, H<sub>3</sub>C(18), H<sub>3</sub>C(18')); 1,982 (s, 6 H, H<sub>3</sub>C(19), H<sub>3</sub>C(19')); 1,999 (s, 6 H, H<sub>3</sub>C(20), H<sub>3</sub>C(20')); 2,077 (d, *J* = 18,5, 2 H, H<sub>β</sub>—C(4), H<sub>β</sub>—C(4’)); 2,235, 2,283 (AB, *J* = 18, 2 H, H<sub>2</sub>C(2)); 3,098 (d, *J* = 18,5, 2 H, H<sub>α</sub>—C(4), H<sub>α</sub>—C(4’)); ca. 6,38 (m, 2 H, H—C(14), H—C(14’)); 6,499 (d, *J* = 14,8, 2 H, H—C(7), H—C(7’)); 6,547 (d, *J* = 14,7, 2 H, H—C(12), H—C(12’)); 6,595 (d, *J* = 11,5, ca. 2 H, H—C(10), H—C(10’)); 6,658 (dd, *J* = 14,7, 11,5, ca. 2 H, H—C(11), H—C(11’)); ca. 6,71 (m, 2 H, H—C(15), H—C(15’)); 7,415 (d, *J* = 15, HC(8), HC(8')). <sup>13</sup>C-NMR (100,6 MHz, ca. 1,5 mg in 0,4 ml): 12,81, 12,85 (C(19), C(19'), C(20), C(20’)); 19,88, 24,86, 25,30 (C(16), C(16'), C(17), C(17'), C(18), C(18’)); 41,17 (C(1), C(1’)); 48,28, 52,51 (C(4), C(4'), C(2), C(2’)); 55,90 (C(5), C(5’)); 120,15 (C(7), C(7’)); 124,60 (C(11), C(11’)); 131,39 (C(15), C(15’)); 133,88 (C(9), C(9’)); 135,27 (C(14), C(14’)); 137,06 (C(13), C(13’)); 141,46 (C(10), C(10’)); 142,33 (C(12), C(12’)); 148,10 (C(8), C(8’)); 201,49 (C(6), C(6’)); 216,12 (C(3), C(3’)). MS: 596 (7, *M*<sup>+</sup>), 490 (12), 443 (4), 145 (14), 25 (40), 106 (69), 105 (34), 91 (100), 83 (55).

26. (*3 R, 5' R*)-*Capsanthon* (**5**). Wie in Kap. 25 wurden 300 mg (0,51 mmol) **1** 68 Std. bei 85° umgesetzt, aufgearbeitet und chromatographiert. Nach Kristallisation aus Benzol/MeOH 10 mg **5** als feine, violette Kristalle mit Smp. 165–170° ([31]: 166°; [35]: 167°). DC (CHCl<sub>3</sub>/Aceton 9:1): *R*<sub>f</sub> 0,5; HPLC: 96% **5** (all-*trans*). UV/VIS (Hexan)<sup>10</sup>: 285 (370), 358 (186), 460 sh (1765), 477 (2015), 500 sh (1580). CD (Dioxan): 361 (+1,81), 346 sh (+1,13), 336 sh (+0,37), 319 sh (−1,51), 302 (−7,00), 293 sh (−5,76), 275 sh (−1,10), 257 (+4,31), 249 sh (+3,29), 244 sh (+2,12), 240 sh (+0,89), 226 (−4,35). IR (KBr): 3440m (OH), 1747s (C=O, Fünfring), 1666m (C=O, konj. Keton), 1580s, 1556s, 1518s (C=C, konj.), 1049s (Alkohol-II-Bande), 970s (CH=CH, *trans*). <sup>1</sup>H-NMR (270 MHz): 1,013 (s, 3 H, H<sub>3</sub>C(16’)); 1,076 (s, 6 H, H<sub>3</sub>C(16), H<sub>3</sub>C(17)); 1,244 (s, 3 H, H<sub>3</sub>C(17’)); 1,391 (s, 3 H, H<sub>3</sub>C(18’)); 1,477 (t, *J* = 12, 1 H, H<sub>β</sub>—C(2)); 1,740 (s, 3 H, H<sub>3</sub>C(18)); ca. 1,773 (br. d, *J* = 12, ca. 1 H, H<sub>α</sub>—C(2)); 1,978 (s, ca. 9 H, H<sub>3</sub>C(19), H<sub>3</sub>C(19'), H<sub>3</sub>C(20)); 1,994 (s, ca. 3 H, H<sub>3</sub>C(20’)); 2,080 (d, *J* = 18,6, H<sub>β</sub>—C(4’)); 2,238, 2,286 (AB, *J* = 18,5, 2 H, H<sub>2</sub>C(2)); 2,392 (br. dd, *J* = 17, 5,5, 1 H, H<sub>α</sub>—C(4)); 3,100 (d, *J* = 18,6, 1 H, H<sub>α</sub>—C(4’)); ca. 4,00 (m, 1 H, H<sub>α</sub>—C(3)); ca. 6,13 (s, 2 H, H—C(7), H—C(8)); 6,16 (d?, *J* = 11,5, ca. 1 H, H—C(10)); ca. 6,27 (d, *J* = 11, 1 H, H—C(14)); 6,36 (d, *J* = 15, 1 H, H—C(12)); 6,38 (d, *J* = 11, 1 H, H—C(14’)); 6,49 (d, *J* = 15, 1 H, H—C(7’)); 6,51–6,77 (m, 6 H, H—C(10’), H—C(11), H—C(11’), H—C(12’), H—C(15), H—C(15’)); 7,413 (d, *J* = 14,8, 1 H, H—C(8’)). MS: 582 (93, *M*<sup>+</sup>), 476 (35), 145 (53), 125 (45), 119 (58), 106 (30), 105 (52), 91 (70), 83 (100), 69 (45), 55 (62).

27. (*5' R*)-*Kryptocapson* (**6**). Wie in Kap. 25 wurden 300 mg (0,53 mmol) **3** 23 Std. bei 95° umgesetzt, aufgearbeitet und chromatographiert. Nach Kristallisation aus Benzol/MeOH (−20°) 59 mg **6** als feine, violette Kristalle mit Smp. 182° ([29]: 171°; [43]: 172°). DC (CHCl<sub>3</sub>/Aceton 9:1): *R*<sub>f</sub> 0,95. HPLC: 97% **6** (all-*trans*). UV/VIS (Hexan)<sup>10</sup>: 285 (346), 295 (336), 462 sh (1789), 480 (1990), 502 sh (1623). UV/VIS (Benzol): 293 (307), 491 (1735), 510 sh (1520). CD (Dioxan): 368 (−1,11), 360 (−0,72), 356 (−0,90), 347 sh (−0,52), 341 sh (−0,43), 328 (−0,22), 322 (−0,72), 314 (+0,19), 312 (+0,04), 301 sh (+2,22), 298 sh (+2,40), 293 (+2,62), 286 sh (+2,03), 276 sh (+0,70), 263 sh (−0,28), 254 (−0,74), 252 sh (−0,72), 250 (−0,67), 239 sh (−0,96), 236 (−1,03), 228 sh (−0,21). IR (KBr): 1746s (C=O, Fünfring), 1672m (C=O, konj.), 1581s, 1558s, 1516s (C=C, konj.), 971s (CH=CH, *trans*). <sup>1</sup>H-NMR (270 MHz): 1,013 (s, 3 H, H<sub>3</sub>C(16’)); 1,031 (s, 6 H, H<sub>3</sub>C(16), H<sub>3</sub>C(17)); 1,243 (s, 3 H, H<sub>3</sub>C(17’)); 1,390 (s, 3 H, H<sub>3</sub>C(18’)); ca. 1,47 (m, 2 H, H<sub>2</sub>C(2)); ca. 1,62 (m, 2 H, H<sub>2</sub>C(3)); 1,980 (s, ca. 9 H, H<sub>3</sub>C(19), H<sub>3</sub>C(19'), H<sub>3</sub>C(20)); 1,994 (s, ca. 3 H, H<sub>3</sub>C(20’)); 2,078 (d, *J* = 18,6, 1 H, H<sub>β</sub>—C(4’)); 2,236, 2,284 (AB, *J* = 18,5, 2 H, H<sub>α</sub>—C(2'), H<sub>β</sub>—C(2’)); 3,096 (d, *J* = 18,5, 1 H, H<sub>α</sub>—C(4’)); 6,143, 6,196 (AB, *J* = 16,3, ca. 2 H, H—C(8), H—C(7)); 6,161 (d?, H—C(10)?); 6,265 (d, *J* = 11,5, 1 H, H—C(14)); 6,361 (d, *J* = 15, 1 H, H—C(12)); 6,378 (d, *J* = 11,5, H—C(14’)); 6,490 (d, *J* = 15, 1 H, H—C(7)); 6,54–6,77 (m, ca. 6 H, H—C(10’), H—C(11), H—C(11’), H—C(12'), H—C(15), H—C(15’)); 7,413 (d, *J* = 15, 1 H, H—C(8’)). MS: 566 (100, *M*<sup>+</sup>), 474 (5), 460 (42), 145 (38), 119 (43), 105 (42), 91 (58), 83 (62), 69 (55).

28. Isolierung von (*3 R, 3' S, 5' R*)-*Capsanthin* (**1**) und (*3 S, 5 R, 3' S, 5' R*)-*Capsorubin* (**2**) aus Paprika-

*Oleoresin.* Zu einer Lösung von 50 g Paprika-Oleoresin<sup>11)</sup> in 2 l Et<sub>2</sub>O wurden 200 ml 5proz. KOH in MeOH zugegeben. Diese Lösung wurde 20 Std. bei RT. gerührt, dann mit H<sub>2</sub>O und ges. NaCl-Lösung gewaschen, getrocknet und i. RV. eingeengt (25 g dunkelrotes Öl). Nach Chromatographie an 700 g Kieselgel mit CHCl<sub>3</sub>/Aceton 9:1 und Kristallisation (CHCl<sub>3</sub>/Benzol/Hexan) wurden daraus 700 mg **1** mit Smp. 162–172° und 49 mg **2** mit Smp. 214–216° erhalten. Zur Analyse wurden 100 mg **1** nochmals chromatographiert und umkristallisiert: 61 mg violette Kristalle mit Smp. 178°; HPLC: 98% **1** (all-trans). UV/VIS (Hexan)<sup>10)</sup>: 283 (353), 355 (147), 452 sh (1675), 470 (1965), 497 (1560). CD (Dioxan): 356 (+1,65), 337 sh (+0,51), 319 sh (−0,92), 300 (−6,48), 294 sh (−5,91), 276 sh (−1,30), 256 (+4,55), 247 sh (+3,25), 240 sh (+0,99), 226 (−3,71). IR (KBr): 3446m (OH), 1666m (C=O, konj. Keton), 1580s, 1555s, 1518s (C=C, konj.), 1053s, 1009s (Alkohol-II-Banden), 967s (CH=CH, trans). <sup>1</sup>H-NMR (400 MHz): 0,840 (s, 3 H, H<sub>3</sub>C(16')); 1,075 (s, 6 H, H<sub>3</sub>C(16), H<sub>3</sub>C(17)); 1,207 (s, 3 H, H<sub>3</sub>C(17')); 1,367 (s, 3 H, H<sub>3</sub>C(18')); 1,736 (s, 3 H, H<sub>3</sub>C(18)); 1,957 (s, 3 H, H<sub>3</sub>C(19')); 1,974 (s, 6 H, H<sub>3</sub>C(19), H<sub>3</sub>C(20)); 1,989 (s, 3 H, H<sub>3</sub>C(20')); 2,39 (ddd, J = 17, 6, ca. 1,5, 1 H, H<sub>α</sub>-C(4)); 2,96 (dd, J = 15,5, 9, 1 H, H<sub>β</sub>-C(4')); ca. 4,00 (br. m, 1 H, H<sub>α</sub>-C(3)); 4,52 (m, 1 H, H<sub>α</sub>-C(3)); 6,13 (s, 2 H, H-C(7), H-C(8)); 6,16 (d, J = 11,6, 1 H, H-C(10)); 6,26 (d, J = 11, 1 H, H-C(14)); 6,35 (d, J = 11, ca. 1 H, H-C(14)); 6,36 (d, J = 15, 1 H, H-C(12)); 6,45 (d, J = 15, 1 H, H-C(7)); 6,52 (d?, J = 15?, 1 H, H-C(12)); 6,55 (d, J = 11, 1 H, H-C(10)); ca. 6,6–6,8 (m, 4 H, H-C(11), H-C(11'), H-C(15), H-C(15')); 7,33 (d, J = 15, 1 H, H-C(8')). <sup>13</sup>C-NMR (100,6 MHz, ca. 5 mg in 0,6 ml): 12,75 (C(19)); 12,79 (C(20)); 12,84 (C(19)); 12,90 (C(20)); 21,39 (C(18')); 21,63 (C(18)); 25,16 (C(17')); 25,95 (C(16)); 28,80 (C(16)); 30,32 (C(17)); 42,69 (C(4)); 44,01 (C(1')); 45,49 (C(4)); 48,61 (C(2)); 51,06 (C(2')); 59,01 (C(5')); 65,14 (C(3)); 70,44 (C(3')); 121,04 (C(7)); 124,13 (C(11)); 125,58 (C(11)); 125,93 (C(7)); 126,30 (C(5)); 129,74 (C(15)); 131,27 (C(10)); 131,68 (C(15)); 132,39 (C(14)); 133,69 (C(9)); 135,24 (C(14)); 135,93 (C(13)); 137,46 (C(12)); 137,60 (C(13)); 137,85 (C(6)); 138,51 (C(8)); 140,63 (C(10)); 141,97 (C(12)); 146,86 (C(8)); 202,82 (C(6')). MS: 584 (75, M<sup>+</sup>), 478 (62), 429 (6), 145 (51), 127 (36), 109 (100), 106 (31), 105 (44), 91 (65), 83 (56).

**2:** Smp. 214–216°. UV/VIS (Hexan)<sup>10)</sup>: 297 (310), 423 sh (845), 445 (1528), 471 (2218), 505 (1985). UV/VIS (Benzol): 303 (284), 435 sh (746), 461 (1303), 487 (1838), 521 (1635). CD (Dioxan): 374 (−3,13), 366 sh (−2,94), 358 sh (−2,64), 339 sh (−1,30), 331 sh (−0,91), 301 (+6,14), 290 sh (+4,10), 268 sh (+0,11), 258 sh (−1,00), 252 (−1,47), 249 (−1,41), 239 sh (−1,13), 224 sh (+0,61). IR (KBr): 3464s (OH), 1669s (C=O, konj. Keton), 1588s, 1556s (C=C, konj.), 1055s (Alkohol-II-Banden), 983s (CH=CH, trans). <sup>1</sup>H-NMR (400 MHz): 0,840 (s, 6 H, H<sub>3</sub>C(16), H<sub>3</sub>C(16')); 1,207 (s, 6 H, H<sub>3</sub>C(17), H<sub>3</sub>C(17')); 1,367 (s, 6 H, H<sub>3</sub>C(18), H<sub>3</sub>C(18')); 1,48 (dd, J = 14,5, 4, 2 H, H<sub>β</sub>-C(4), H<sub>β</sub>-C(4')); 1,71 (dd, J = 13,5, 4, 2 H, H<sub>β</sub>-C(2), H<sub>β</sub>-C(2)); 1,962 (s, 6 H, H<sub>3</sub>C(19), H<sub>3</sub>C(19')); 1,989 (s, ca. 6 H, H<sub>3</sub>C(20), H<sub>3</sub>C(20)); 2,00 (dd, J = 13,5, 7, 2 H, H<sub>α</sub>-C(2), H<sub>α</sub>-C(2)); 2,96 (dd, J = 14,5, 8,5, 2 H, H<sub>α</sub>-C(4), H<sub>α</sub>-C(4')); 4,51 (m, 2 H, H-C(3), H-C(3')); 6,36 (m, 2 H, H-C(14), H-C(14')); 6,45 (d, J = 15, 2 H, H-C(7), H-C(7)); 6,52 (d, J = 14,5, 2 H, H-C(12), H-C(12)); 6,55 (d, J = 11, 2 H, H-C(10), H-C(10')); 6,64 (dd, J = 14,7, 11, 2 H, H-C(11), H-C(11')); 6,69 (m, 2 H, H-C(15), H-C(15')); 7,32 (d, J = 14,9, 2 H, H-C(8), H-C(8')). <sup>13</sup>C-NMR (100,6 MHz, ca. 3 mg in 0,7 ml): 12,88 (C(19), C(19'), C(20), C(20)); 21,37, 25,15, 25,93 (C(16), C(16'), C(17), C(17'), C(18), C(18')); 44,02 (C(1), C(1')); 45,44 (C(4), C(4')); 51,02 (C(2), C(2')); 59,03 (C(6), C(6')); 70,42 (C(3), C(3')); 121,23 (C(7), C(7')); 124,67 (C(11), C(11')); 131,23 (C(15), C(15')); 134,08 (C(9), C(9')); 134,92 (C(14), C(14')); 140,45 (C(10), C(10')); 141,73 (C(12), C(12')); 146,76 (C(8), C(8')); 202,87 (C(6), C(6')). MS: 600 (10, M<sup>+</sup>), 494 (9), 445 (5), 221 (10), 145 (16), 127 (48), 109 (100), 106 (15), 105 (15), 91 (28), 83 (46).

<sup>11)</sup> ‘Oleoresin of Paprika’, *Sainda*, San Esteban de Gormaz, Soria, Spanien.

## LITERATURVERZEICHNIS

- [1] a) *A. Rüttimann*, 'Synthesis and Stereochemistry of Red Pepper Carotenoids', in 'Carotenoid Chemistry & Biochemistry', Herausgeber G. Britton & T. W. Goodwin, Pergamon Press 1982, S. 71–86; b) Mitteilung IX: *K. Bernhard, G. Englert, H. Mayer, R. K. Müller, A. Rüttimann, M. Vecchi, E. Widmer & R. Zell*, Helv. Chim. Acta 64, 2469 (1981).
- [2] *IUPAC Commission on Nomenclature of Organic Chemistry and the IUPAC-JUB Commission on Biochemical Nomenclature*, 'Nomenclature of Carotenoids (Rules Approved 1974)', Pure Appl. Chem. 41, 407 (1975).
- [3] *L. Zechmeister & L. v. Cholnoky*, Justus Liebigs Ann. Chem. 454, 54 (1927); *idem*, ibid. 454, 70 (1927).
- [4] *L. Zechmeister & L. v. Cholnoky*, Justus Liebigs Ann. Chem. 509, 269 (1934).
- [5] *L. v. Cholnoky, K. Györgyfy, E. Nagy & M. Panczel*, Acta Chim. Acad. Sci. Hung. 6, 143 (1955).
- [6] *L. v. Cholnoky, K. Györgyfy, E. Nagy & M. Panczel*, Nature 178, 410 (1956).
- [7] *A. L. Curl*, J. Agric. Food Chem. 10, 504 (1962).
- [8] *B. H. Davies, S. Matthews & J. T. O. Kirk*, Phytochemistry 9, 797 (1970).
- [9] *T. Philip & F. J. Francis*, J. Food Sci. 36, 823 (1971).
- [10] *T. Philip, W. W. Nawar & F. J. Francis*, J. Food Sci. 36, 98 (1971).
- [11] *K. Langer*, 'Separation of Carotenoids using HPLC', Dissertation der Friedrich Alexander Universität, Erlangen-Nürnberg, Deutschland 1976.
- [12] *B. Camara & R. Monéger*, Phytochemistry 17, 91 (1978).
- [13] *P. Karrer & A. Oswald*, Helv. Chim. Acta 13, 1303 (1935).
- [14] *L. R. G. Valadon & R. S. Mummary*, Z. Pflanzenphysiol. 82, 407 (1977).
- [15] *M. Bubicz & Z. Wierzchowski*, Bull. Acad. Pol. Sci. 8, 323 (1960).
- [16] *P. Karrer & S. Ramaswamy*, Helv. Chim. Acta 34, 2159 (1951).
- [17] *G. Neamtu, G. Illyes & C. Bodea*, Stud. Cercet. Biochim. 12, 77 (1969).
- [18] *G. Neamtu & C. Bodea*, Stud. Cercet. Biochim. 16, 35 (1973).
- [19] *G. Neamtu & C. Bodea*, Stud. Cercet. Biochim. 17, 41 (1974).
- [20] *G. Neamtu, G. Illyes & C. Bodea*, Stud. Cercet. Biochim. 12, 77 (1969).
- [21] *L. Zechmeister & L. v. Cholnoky*, Justus Liebigs Ann. Chem. 454, 70 (1927).
- [22] *P. Karrer, A. Helfenstein, H. Wehrli, B. Pieper & R. Morf*, Helv. Chim. Acta 14, 614 (1931).
- [23] *L. Zechmeister & L. v. Cholnoky*, Justus Liebigs Ann. Chem. 516, 30 (1935).
- [24] *P. Karrer & H. Hübner*, Helv. Chim. Acta 19, 474 (1936).
- [25] *L. Zechmeister & L. v. Cholnoky*, Justus Liebigs Ann. Chem. 543, 248 (1940).
- [26] *R. Entschel, C. H. Eugster & P. Karrer*, Helv. Chim. Acta 29, 1263 (1956).
- [27] *L. v. Cholnoky, D. Szabó & J. Szabolcs*, Justus Liebigs Ann. Chem. 606, 194 (1957).
- [28] *C. K. Warren & B. C. L. Weedon*, J. Chem. Soc. 1958, 3972.
- [29] *L. v. Cholnoky & J. Szabolcs*, Acta Chim. Acad. Sci. Hung. 22, 117 (1960).
- [30] *L. v. Cholnoky & J. Szabolcs*, Experientia 43, 483 (1960).
- [31] *R. Entschel & P. Karrer*, Helv. Chim. Acta 43, 89 (1960).
- [32] *H. Faigle & P. Karrer*, Helv. Chim. Acta 44, 1257 (1961).
- [33] *H. Faigle & P. Karrer*, Helv. Chim. Acta 44, 1904 (1961).
- [34] *M. S. Barber, L. M. Jackman, C. K. Warren & B. C. L. Weedon*, Proc. Chem. Soc. 1960, 19.
- [35] *M. S. Barber, L. M. Jackman, C. K. Warren & B. C. L. Weedon*, J. Chem. Soc. 1961, 4019.
- [36] *J. W. Faigle, H. Müller, W. von Philipsborn & P. Karrer*, Helv. Chim. Acta 47, 741 (1964).
- [37] *K. Freudenberg & W. Lwowski*, Justus Liebigs Ann. Chem. 587, 213 (1954); *idem*, ibid. 594, 76 (1955).
- [38] *F. H. Allen & D. Rogers*, J. Chem. Soc., Chem. Commun. 1966, 837.
- [39] *B. C. L. Weedon*, in 'Carotenoids', Herausgeber O. Isler, Birkhäuser-Verlag, Basel und Stuttgart 1971, S. 292–3.
- [40] *R. D. G. Cooper, L. M. Jackman & B. C. L. Weedon*, Proc. Chem. Soc. 1962, 215.
- [41] *R. D. Bowden, R. D. G. Cooper, C. J. Harris, L. M. Jackman, G. P. Moss & B. C. L. Weedon*, J. Chem. Soc., Perkin Trans. 1 1983, 1465.
- [42] *B. C. L. Weedon*, Pure Appl. Chem. 14, 265 (1967).
- [43] *L. v. Cholnoky, J. Szabolcs, R. D. G. Cooper & B. C. L. Weedon*, Tetrahedron Lett. 1963, 1257.
- [44] *B. C. L. Weedon*, Pure Appl. Chem. 35, 113 (1973).
- [45] *A. K. Chopra, G. P. Moss & B. C. L. Weedon*, J. Chem. Soc., Chem. Commun. 1977, 467; *A. K. Chopra*, Ph. D. thesis, Queen Mary College, University of London 1976.

- [46] P. Heisel, I. G., DRP. 765525 (1940); *Lech-Chemie*, Gersthofen, DBP. 879097 (1941).
- [47] J. Goldman, N. Jacobsen & K. Torssell, *Acta Chem. Scand.*, Ser. B 28, 492 (1974).
- [48] H. C. Brown, N. R. Ayyangar & G. Zweifel, *J. Am. Chem. Soc.* 86, 397 (1964); *ibid.* 86, 1071 (1964).
- [49] H. C. Brown, 'Organic Synthesis via Boranes', John Wiley & Sons, New York 1975.
- [50] R. Levine & M. J. Kartan, *J. Org. Chem.* 41, 1176 (1976).
- [51] H. C. Brown & P. J. Geoghegan, Jr., *J. Org. Chem.* 35, 1844 (1970); *ibid.* 37, 1937 (1972).
- [52] G. Englert, 'NMR of Carotenoids', in 'Carotenoid Chemistry & Biochemistry', Herausgeber G. Britton & T. W. Goodwin, Pergamon Press 1982, S. 107–134.
- [53] G. Englert, *Helv. Chim. Acta* 58, 2367 (1975).
- [54] M. Baranyai, P. Molnar, J. Szabolcs, L. Radics & M. Kajtar-Peregy, *Tetrahedron* 37, 203 (1981).
- [55] G. P. Moss, *Pure Appl. Chem.* 47, 97 (1976).
- [56] H. Pommer, *Angew. Chem.* 72, 911 (1960); O. Isler, H. Gutmann, H. Lindlar, M. Montavon, R. Rüegg, G. Ryser & P. Zeller, *Helv. Chim. Acta* 39, 463 (1956); U. Schwieger, H. Gutmann, H. Lindlar, R. Marbet, N. Rigassi, R. Rüegg, S. F. Schäfer & O. Isler, *ibid.* 49, 369 (1966).
- [57] H. Mayer, *Pure Appl. Chem.* 51, 535 (1979); H. Pfander, M. Hadorn, A. Lachenmaier & G. Englert, *Helv. Chim. Acta* 63, 716 (1980).
- [58] R. Rüegg, M. Montavon, G. Ryser, G. Saucy, U. Schwieger & O. Isler, *Helv. Chim. Acta* 42, 854 (1959).